

MESRS

14/82
USTA
2ea

ECOLE NATIONALE POLYTECHNIQUE
DEPARTEMENT D'ELECTRONIQUE

C.S.T.N. LABORATOIRE DE TELEDETECTION

PROJET DE FIN D'ETUDES
OPTION INGENIORAT EN ELECTRONIQUE

RECONNAISSANCE DE FORMES

ANALYSE DE TEXTURE

EN TRAITEMENT NUMERIQUE D'IMAGES

Proposé par:
A ABDELLAOUI
A. OUSSEDIK

Etudie par:
A. BENMERZOUGA
R. DRAI



JUIN 82

DEDICACES

A mes parents.
A mes frères.
A mes soeurs.
A mes amis.
A toute ma famille.

ALI

A la mémoire de ma mère.
A la mémoire de mon frère.
A mon père.
A ma tante.
A mes frères et soeurs.
A toute ma famille.
A tous mes amis.

REDOUANE





ffffffffff
REMERCIEMENTS
ffffffffff

Nous tenons à remercier notre promoteur M^r. ABDELLAOUI directeur du groupe de recherche en TELEDETECTION, de nous avoir accueillis dans son laboratoire pour l'élaboration de notre projet.

Nos vifs remerciements vont également à M^r. BELKACEMI, M^r. OUSSEDIK et M^{elle} TILIKETE qui n'ont pas hésité à nous aider tout au long de notre travail.

Nous tenons aussi à remercier G.BAHIA, S.FATIHA et M.KAMAL pour leur aide pratique et morale.

Nous n'oublions pas de remercier le groupe du centre de calcul et particulièrement à M^r. BENDIFALLAH.

Ainsi que M^r. AGOUNI.

Enfin, nous remercions M^r. CHERFA ALI pour sa contribution à la réalisation matérielle de cet ouvrage.

Que tous ceux qui ont contribué de près ou de loin à l'élaboration de ce projet trouvent ici l'expression de notre profonde reconnaissance.

ffffffffff
ffffffffff
ffffffffff

- - S O M M A I R E - -

INTRODUCTION

PREMIERE PARTIE

Généralités

1. Définitions:

- IMAGE
- NIVEAU DE GRIS
- IMAGE MULTISPECTRALE, SIGNATURE SPECTRALE
- SIGNATURE SPATIALE
- IMAGE ECHANTILLONNÉE
- PIXEL
- RÉSOLUTION SPATIALE
- CLASSE
- RÈGLE DE DÉCISION
- CLASSIFICATION MULTIDIMENSIONNELLE

2. Acquisition de données

- a- LES CAPTEURS
- b- LES PLATES-FORMES D'OBSERVATION

3. Les satellites LANDSAT

3.1. HISTORIQUE

3.2. RÉSOLUTIONS SPECTRALES

a- LES CAMERAS R.B.V.

b- LE M.S.S.

b.1. Résolution spectrale des M.S.S.

b.2. Caractéristiques des différentes bandes spectrales

DEUXIÈME PARTIE

Processus de reconnaissance de formes

1. INTRODUCTION ET DEFINITIONS

2. ACQUISITION ET TRAITEMENT D'INFORMATION

2.1. ACQUISITION DE L'IMAGE DE LA SCÈNE

2.2. LA SEGMENTATION

2.2.1. DETECTION DE CONTOURS

2.2.2. RECHERCHE DU CONTOUR DES FORMES

3. METHODES

3.1. METHODE DU GRADIENT

3.2. METHODE DE HUECKEL

3.3. METHODE A BASE STATISTIQUE



- 3.4. UTILISATION DE LA METHODE DU GRADIENT
 - a-Gradient SIMPLE
 - b-Gradient AMELIORE
 - c-Tracé d'HISTOGRAMME DE gradient
- 4. Affinage et lissage des lignes de contour
- 4.1. FILTRAGE ANALYTIQUE
- 4.2. LISSAGE DES LIGNES DE CONTOUR
- 5. Traitement d'une image photographique aérienne digitalisée
- 5.1. OBTENTION DE L'IMAGE NUMERIQUE
- 5.2. ENREGISTREMENT DES DONNEES
- 5.3. TRANSFORMATION DE L'IMAGE EN UNE IMAGE GRADIENT
 - a-Gradient simple
 - b-Gradient amélioré
 - c-Comparaison
- 5.4. CONCEPTION DU PROGRAMME DE DETECTION DE CONTOURS

TROISIEME PARTIE

- 1. TEXTURE DES IMAGES DE TELEDETECTION
 - 1.1. DEFINITION DE LA TEXTURE
 - 1.2. PLACE DE LA TEXTURE DANS L'INTERPRETATION D'IMAGES DE T.D.
 - 1.3. TECHNIQUES D'ANALYSE DE LA TEXTURE
- 2. LES TRANSFORMATIONS LOCALES
 - 2.1. INTERET DES TRANSFORMATIONS LOCALES POUR L'ETUDE DE LA TEXTURE
 - 2.2. TRANSFORMATIONS LOCALES -DEFINITION, THEORIE
 - 2.2.1. IMAGE DIGITALE
 - 2.2.2. VOISINAGE
 - 2.2.3. TRANSFORMATION LOCALE
 - 2.2.3.1. DEFINTION
 - 2.2.3.2. INVARIANCE EN POSITION
 - 2.2.3.3. TRANSFORMATION LOCALE LINEAIRE
 - 2.2.3.4. DOMAINE DE L'IMAGE TRANSFORMEE
 - 2.3. DESCRIPTION DES TRANSFORMATIONS LOCALES UTILISEES
 - 2.3.1. MOYENNE
 - 2.3.2. ECART A LA MOYENNE
 - 2.3.3. ECART TYPE
 - 2.3.4. AUGMENTATION DU CONTRASTE
 - 2.4. PRESENTATION DES RESULTATS
 - 2.4.1. ORGANIGRAMMES ET PROGRAMMES
 - 2.4.2. COMMENTAIRES

CÔNCLUSION

SELON L'ENCYCLOPEDIA UNIVERSALIS:

"La TELEDETECTION est un ensemble de technique mises en oeuvre à partir d'avions, de ballons, de satellites et qui ont pour but d'étudier soit la surface de la terre ou d'autres planètes, soit l'atmosphère, en utilisant les propriétés des ondes électromagnétiques émises, réfléchies ou diffractées par les différents corps observés."

UNE OPERATION DE TELEDETECTION S'EFFECTUE EN TROIS ETAPES

I-ACQUISITION DES DONNEES

II-TRAITEMENT DES DONNEES

III-INTERPRETATION.

-o- I N T R O D U C T I O N -o-

Depuis de nombreuses années, l'utilisation des photographies aériennes constitue une méthode de couverture rapide et globale de la surface terrestre. Des photo-interprètes travaillant dans divers domaines d'application comme l'agriculture, la géographie, la géologie, l'hydrologie... sont capables de traduire les images reçues en données utiles concernant les objectifs recherchés.

La TELEDETECTION aérospatiale (extension et amélioration notable des techniques de photographie aérienne) conduit à un accroissement considérable du volume des données : une seule image du satellite LANDSAT contient 7.581.600 points dans chacune des quatre bandes spectrales et le satellite peut acquérir plusieurs dizaines d'images par jour. Ce nombre important d'information nécessite l'usage d'un traitement par ordinateur.

Les premières techniques de traitement d'images de teledetection sont surtout des techniques multispectrales, chaque point de l'image est affecté de plusieurs paramètres représentant chacun une grandeur liée à l'énergie reçue par le capteur dans une bande spectrale donnée.

Ces traitements considèrent le point de l'image comme isolé : ils ne tiennent pas compte des relations entre le ton de gris du point et celui de ses voisins. Or, une grande partie de l'information de l'image est contenue dans ces relations spatiales.

L'objet de notre travail est l'étude de la notion de texture et de reconnaissance de forme dans l'analyse d'images ; la conception d'un logiciel et son application à une image contenant la région d'ALGER.

La première partie de notre mémoire consiste à donner des définitions concernant la télédétection.

La deuxième partie fait l'objet d'application de quelques algorithmes simples de reconnaissance de formes et detection de contours sur une image photographique aérienne digitalisée.

Enfin dans la troisième partie, nous introduisons la notion de texture et son application sur des images LANDSAT.

P R E M I E R E

P A R T I E

GENERALITES

Les images aérosatellitaires peuvent se presenter sous deux formes différentes, photographiques ou numériques suivant leurs origines.

Par rapport à l'image photographique usuelle, qui nous permet d'avoir des informations sur les géometries et les couleurs des objets, l'image numérique (généralement portée sur un support magnétique) nous offre en plus l'avantage de posséder des informations sur les propriétés physiques de ces objets. Néanmoins, ces deux types d'images peuvent être traitées et traduites de la même manière.

1. DEFINITIONS:

-IMAGE:

Une image peut être considérée comme une fonction $I(x,y)$ à deux variables réelles et à valeur réelle qui vaut zéro à l'extérieur d'un domaine $D \subseteq \mathbb{R}^2$ une valeur bornée positive où nulle à l'intérieur de ce domaine.

$$0 \leq I(x,y) \leq M \quad \forall (x,y) \in D$$

$$I(x,y) = 0 \quad \forall (x,y) \notin D$$

-NIVEAU DE GRIS:

La valeur de la fonction $I(x,y)$ en un point donné est appeler niveau de gris de l'image au point (x,y) ; on trouve encore comme dénomination luminance, intensité en un point, où radiance.

-IMAGE MULTISPECTRALE, SIGNATURE SPECTRALE:

Dans une image multispectrale, à un point (x,y) de l'image correspond N valeurs correspondant aux N bandes spectrales d'analyse. Ces N valeurs sont appelées signature spectrale au point (x,y) .

-SIGNATURE SPATIALE:

Dans une image, à un point (x,y) on associe M paramètres spatiaux tenant compte du voisinage de celui-ci. Ces M valeurs sont appelées signature spatiale.

-IMAGE ECHANTILLONNEE:

Les images sur lesquelles nous travaillons correspondent à un échantillonnage de la fonction image précédente.

L'échantillonnage est réalisé à la fois sur la position (x,y) et

sur l'intensité au point (x, y) .

Ainsi une image monospectrale de taille $\text{LONGL} \times \text{LONGC}$ à K niveaux de gris est une image dont le nombre total de point est fini ($\text{LONGL} \times \text{LONGC}$) et dont le niveau de gris en un quelconque de ces points est un entier compris entre 0 et $(K-1)$.

Une image $\text{LONGL} \times \text{LONGC}$ à K nivau de gris est donc une matrice à LONGL lignes et LONGC colonnes à valeurs entières positives ou nulles comprises entre 0 et $(K-1)$

		0 1 2 ... j ... (LONGC-1)
	
0	• • •
1	• • •
2	• • •
⋮		I(i,j)
L	• • •
⋮		
LONGL-1	• • •

-PIXEL:

Signifiant point élémentaire, c'est un élément de la matrice précédente.

-RESOLUTION SPATIALE:

La résolution spatiale d'une image numérique échantillonnée est la surface au sol que représente un pixel.

Pour un radiomètre à balayage, le terrain est analysé bande par bande. L'angle de balayage (θ) et la longueur (l) pris comme échantillon dans la bande de balayage, fixent la résolution spatiale.

Exemple: La résolution spatiale du capteur MSS du satellite LANDSAT est de $57\text{m} \times 79\text{m} = 4500\text{m}^2$

-CLASSE:

Une classe dans une image numérique peut-être considérée comme l'ensemble des pixels présentant une ou des propriétés données.

-REGLE DE DECISION:

La règle de décision définit la ou les propriétés nécessaires et suffisantes pour qu'un pixel (ou un ensemble de pixels) soit considéré comme appartenant à la classe correspondante.

-CLASSIFICATION MULTIDIMENSIONNELLE:

Dans les méthodes de classification multispectrale on agit au niveau des signatures spectrales et on réalise une classification dans un ensemble de points de R^n .

Une des possibilités pour ajouter la signature spatiale à la signature spectrale est de se ramener au problème précédent, en considérant la signature spatiale comme une ou des dimensions supplémentaires.

$$\begin{matrix} & \left[\begin{array}{c} I_1(x,y) \\ I_2(x,y) \\ \vdots \\ I_n(x,y) \end{array} \right] \\ X & \left\{ \begin{array}{c} \\ \\ \\ \end{array} \right. \\ & \left[\begin{array}{c} T_1(x,y) \\ \vdots \\ T_m(x,y) \end{array} \right] \\ T & \left\{ \begin{array}{c} \\ \\ \\ \end{array} \right. \end{matrix}$$

2.ACQUISITION DE DONNEES:

L'obtention de ces informations nécessite:

- Des appareils de collecte de données, appelés CAPTEURS
- Des véhicules portant ces appareils, soient des plates-formes d'observation.
- Un système permettant la transmission des données au sol ou leur stockage à bord de la plate-forme.

a-LES CAPTEURS:

Le capteur est un dispositif qui reçoit les rayonnements électromagnétiques émis ou réfléchis par les objets au sol dans une certaine bande spectrale, les transforme en un signal électrique susceptible d'être amplifié, mesuré et stocké si nécessaire.

b-LES PLATES-FORMES D'OBSERVATION:

Suivant l'objectif visé, la collecte d'information doit s'effectuer à

différentes altitudes. On utilise pour cela trois types de plates-formes d'observation:

-LES SATELLITES

-LES BALLONS

-LES AVIONS

Leurs altitudes de vols sont respectivement:

500Km à 900Km pour les satellites de ressources terrestres, 10Km à 30Km pour les ballons et 500m à 10Km pour les avions.

Les satellites constituent donc la troisième plate-forme d'observation de la terre. Leur orbite régulière procure une stabilité avantageuse, par rapport aux avions et aux ballons, pour la collecte de données.

Leur altitude de vol élevée permet de couvrir un grand champ d'observation, néanmoins, ceci présente un inconvénient dû au fait que les radiations qu'ils captent sont, dans ce cas, affectée par l'ensemble des couches atmosphériques.

La résolution multispectrale des capteurs qu'ils transportent, permet de contourner ce problème.

La troisième partie de notre travail se basera sur des données prises à bord d'un satellite LANDSAT, par conséquent, nous nous intéresserons plus particulièrement à ce dernier.

3. LES SATELLITES LANDSAT:

3.1. HISTORIQUE:

Ils sont au nombre de trois, lancés respectivement en 1972, 1975 et 1978 à une altitude de 920Km. Ils suivent une orbite quasi circulaire. Ils effectuent 14 révolutions par jour d'une période de 103 minutes chacune. La première de chaque jour est décalée de 1,5 DEGRE vers l'ouest par rapport à celle de la veille. Ils assurent ainsi la couverture terrestre en 18 jours.

LE PREMIER (LANDSAT 1) a été lancé le 23 JANVIER 1972 par la NASA et a cessé son activité en JANVIER 1978.

LE DEUXIÈME (LANDSAT 2) a été lancé le 22 JANVIER 1975 sur orbite de façon à produire un décalage de 9 jours sur la fréquence de passage des deux satellites (LANDSAT 1, LANDSAT 2) au dessus d'un même point du globe.

LE LANDSAT 2 permet donc d'étudier l'évolution d'un phénomène à des intervalles de temps réduits (9 jours au lieu de 18).

LE TROISIEME (LANDSAT3) a été lancé le 5 MARS 1978 dans le but de remplacer le LANDSAT 1 qui ne fonctionnait plus.

3.2. RESOLUTIONS SPECTRALES:

Les satellites LANDSAT sont équipés de deux types de capteurs: Les caméras R.B.V (Return-Beam-Vidicam) et les M.S.S (Multispectral scanner) scanner).

a-Les caméras R.B.V sont au nombre de trois sur le LANDSAT 3. Elles photographient simultanément la même zone dans les trois bandes spectrales suivantes:

-Bande 4 : 0,46 - 0,60 micromètre.

-Bande 5 : 0,57 - 0,68 micromètre.

-Bande 6 : 0,66 - 0,82 micromètre.

b-Le M.S.S est un radiomètre multispectral à 4 canaux (4,5,6 et 7), munis de 24 détecteurs , répartis au nombre de 6 par canal. Le M.S.S balaye une largeur de 185 km, à altitude normale (920km) en dessinant 6 lignes, correspondant aux 6 détecteurs, dans chacun des canaux simultanément.

b.1 RESOLUTION SPECTRALE DES M.S.S:

Les quatre types de détecteurs du système M.S.S travaillent respectivement dans les bandes spectrales suivantes:

-Bande 4: 0,50 - 0,60 micromètre.

-Bande 5: 0,60 - 0,70 micromètre.

-Bande 6: 0,70 - 0,80 micromètre.

-Bande 7: 0,80 - 1,10 micromètre.

b.2 CARACTERISTIQUES DES DIFFERENTES BANDES SPECTRALES:

-Bande 4: Située dans la partie visible du rayonnement électromagnétique elle permet l'identification des structures géologiques et la distinction entre les différents types de végétation.

-Bande 5: située dans le visible, elle est utilisée d'une part pour déterminer les caractéristiques topographiques et d'autre part pour classer les différents types de végétations.

-Bande 6: Située en partie dans le visible et en partie dans le proche infrarouge, elle .

-Bande 7: Située entièrement dans l'infra-rouge, elle permet l'obtention de renseignements sur l'humidité (hydrologie) et sur les reliefs.

D E U X I E M E

P A R T I E

PROCESSUS DE RECONNAISSANCE DE FORMES

1. INTRODUCTION ET DEFINITIONS:

On définit comme forme toute structuration minimale perceptible qui émerge d'un bruit aléatoire, tout groupe d'éléments qui serait perçu, d'emblée avant que chaque détail soit isolé, comme n'étant pas le produit d'un assemblage au hasard.

La forme est aussi la manière dont les parties d'un tout sont arrangeées entre elles, dont une chose est construite, disposée, agencée.

Le domaine de la reconnaissance des formes s'étend jusqu'à l'étude des structures mentales, logiques, d'une façon générale jusqu'à la recherche de toute trace d'organisation qu'elle soit dans un système quelconque.

Pour l'heure, les recherches s'occupent d'avantage du premier problème, plus simple, dont les motivations ont une urgence économique immédiate. En particulier, la robotique industrielle occupe dans ce domaine une place remarquable.

Comme méthodes, on peut classer celles-ci en deux approches générales:

- L'une statistique fondée sur la théorie statistique de décision.
- L'autre structurelle, fondée sur la théorie des langages et des automates.

L'approche statistique est la plus ancienne et la mieux établie.

Elle comporte trois étapes:

- LA PARAMETRISATION

- L'APPRENTISSAGE

- LA CLASSIFICATION

C'est ce qui a été déjà étudié précédemment

L'approche structurelle est celle qui est de nos jours l'objet de travaux.

2. ACQUISITION ET TRAITEMENT D'INFORMATION:

Nous nous limitons à des scènes dont les composants peuvent être assimilés à des formes bidimensionnelles.

Nous distinguons dans l'étape de traitement d'image trois phases conceptuelles: L'ACQUISITION, LA SEGMENTATION ET L'INTERPRETATION.

2.1. ACQUISITION DE L'IMAGE DE LA SCÈNE:

La phase d'acquisition transforme la scène visuelle en une image numérisée qui se présente sous forme d'un tableau bidimensionnel dont

chaque élément (pixel) porte l'information de luminosité d'une surface élémentaire de la scène originale, à la discrétisation des deux dimensions d'espace, s'ajoute une quantification de la luminosité dont les valeurs sont prises dans un ensemble fini de niveaux.

2.2. LA SEGMENTATION:

2.2.1. DETECTION DE CONTOURS:

On suppose que les objets présents dans la scène reposent sans recouvrement sur une surface plane.

Le problème est donc de reconnaître les formes des objets du contexte. La phase de segmentation consiste à partitionner l'image en un ensemble de régions à peu près uniforme et en un ensemble d'entités géométriques élémentaires, souvent des lignes.

2.2.2. RECHERCHE DU CONTOUR DES FORMES:

La détection de contour d'une région de l'image où d'une forme, consiste à transformer l'image multi-niveaux en une image binaire, formée de 0 pour les points extérieurs à la forme et de 1 pour les points intérieurs. Le contour est défini par l'ensemble de points frontière entre forme et contexte.

3. METHODES:

3.1. METHODE DU GRADIENT:

L'opération gradient est une approximation de différentiation spatiale de l'échelle de gris. La méthode du gradient donne une image de contour ou image gradient. Les régions de l'image dont le niveau de gris est à peu près uniforme, sont caractérisées par un faible gradient, alors que les zones frontières de formes sont caractérisées par un gradient maximum.

3.2. METHODE DE HUECKEL:

Cette méthode procède de la façon suivante:

On déplace sur l'image une fenêtre circulaire de 40 à 60 points, en chaque position on pose les questions suivantes:

-Quelle est la droite qui sépare le mieux la fenêtre en deux plages uniforme?

-Est ce que la différence entre les niveaux de gris de ces deux plages ne dépasse pas un certain seuil?

La méthode permet donc la détermination du contour sous forme de segments

de droites, c'est une différence fondamentale avec la méthode du gradient qui, à partir d'une image (matrice de points) donne une image de contour.

3.3. METHODE A BASE STATISTIQUE:

Les méthodes à base statistique se basent sur l'analyse de la répartition des fréquences d'apparition des intensités lumineuses, obtenu par un HISTOGRAMME.

La forme dont on recherche le contour se caractérise par des niveaux de gris différents de ceux du contexte, l'histogramme fait donc apparaître deux modes ou pics caractérisant la forme et le contexte. La vallée située entre les deux pics permet donc de séparer la forme de son contexte. Ainsi le contour est obtenu en seuillant l'image par la valeur " T " du fond de la vallée.

3.4. UTILISATION DE LA METHODE DU GRADIENT:

La détermination des points frontières par l'exploitation de la technique du gradient présente un grand avantage en raison de la simplicité des algorithmes mis en œuvre et par l'effet de l'opération gradient qui accentue les hautes fréquences spatiales riches en information sur les contours.

a-GRADIENT SIMPLE:

L'image gradient simple peut être calculée à partir de l'image initiale en appliquant l'opérateur de ROBERTS sur chaque fenêtre (2x2)

$$\begin{bmatrix} a & b \\ c & d \end{bmatrix}$$

Pour chaque point, le gradient est obtenu par l'équation

$$G(a) = |a-d| + |c-b|$$

Ainsi les zones frontières apparaîtront comme les zones gradient maximum et les zones homogènes comme les zones à gradient minimum, mais l'apparition d'un point bruité dans une fenêtre d'une zone homogène donne un gradient élevé, d'où l'inconvénient de cette méthode.

b-GRADIENT AMELIORE:

Dans cette méthode, l'image gradient est obtenue en calculant pour chaque fenêtre ($4x4$) de l'image.

Le gradient amélioré est donné par l'expression

$$G(a) = (A \cdot B \cdot C \cdot D)^{1/4} \quad \text{avec:}$$

$$\begin{aligned} A &= |f-k| + |j-g| \\ B &= |a-p| + |m-d| \\ C &= |b-o| + |i-h| \\ D &= |c-n| + |e-l| \end{aligned}$$

$$\begin{array}{cccc} a & b & c & d \\ e & f & g & h \\ i & j & k & l \\ m & n & o & p \end{array}$$

fenêtre (4x4)

Chaque point de la fenêtre est utilisé une et une seule fois.

Le gradient amélioré consiste en un produit de 4 gradients conventionnels dans trois directions différentes.

L'image gradient n'est pas sensible à la rotation de l'image.

Les points du contour seront mis en évidence, car le produit de gradient de grandes valeurs est très grand. Au contraire l'ensemble des points isolés dû aux bruits et à la différentiation est considérablement réduit car l'un au moins des 4 gradients A , B , C , D a une valeur faible, le produit est donc également faible.

c-TRACE D'HISTOGRAMME DE GRADIENT:

Ceci montre qu'un plus grand nombre de points le long des contours apparaît au pic d'histogramme. (fig 1)

4.AFFINAGE ET LISSAGE DES LIGNES DE CONTOUR:

Les contours qui résultent de l'application de la méthode du gradient amélioré sont bruités et ont par endroit une certaine épaisseur. Cette épaisseur est due à la multiplication des points voisins du contours dans les zones à transitions dégradées.

D'où une importante phase de filtrage et de lissage des contours qui ralentit l'algorithme précédent.

4.1.FILTRAGE ANALYTIQUE:

Un premier filtrage analytique permet par seuillage de réduire le bruit dans l'image gradient amélioré.

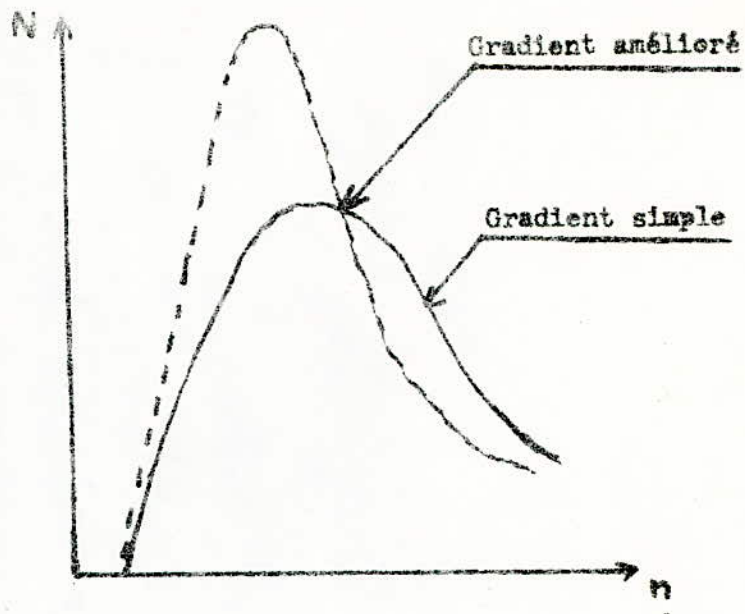
Après avoir calculé une moyenne locale M sur une fenêtre (2L+1 x 2L+1) centré au point courant (x,y), on procède à l'élimination de ce point si la valeur de son gradient amélioré est inférieure à la moyenne de la fenêtre.

$$g^*(x,y) = \begin{cases} 0 & g(x,y) < M \\ 1 & \text{si non} \end{cases}$$

Avec :

$$M = \frac{1}{(2L+1)^2} \sum_{u=-L}^{u=L} \sum_{v=-L}^{v=L} g(x+u, y+v)$$

fig.1



n: valeur du gradient

N: fréquence de cette valeur

$g^*(x,y)$: point de l'image gradient amélioré

$g(x,y)$: point de l'image originale

Ce filtrage transforme l'image en image binaire.

4.2. LISSAGE DES LIGNES DE CONTOUR:

Cette opération permet d'affiner les lignes de contour, en traitant les fenêtres binaires (3x3) centrées aux points dont la valeur est un(1).

Si ces fenêtres satisfait à l'une des configurations suivantes, la valeur du centre devient zéro(0).

1 X 0	X 1 1	X 1 X	X 1 X
1 (1) 0	0 (1) X	1 (1) X	X (1) 1
X 0 0	0 0 0	X X 0	0 X X
(1)	(2)	(3)	(4)

0 0 0	0 0 X	X X 0	0 X X
X (1) 0	0 (1) 1	1 (1) X	X (1) 1
1 1 X	0 X 1	X 1 X	X 1 X
(5)	(6)	(7)	(8)

REMARQUE:

x : peut prendre la valeur zéro(0) où un(1).

EXEMPLES:

1)- 1000000
0110000
0011000
0000111

1000000
0110000
0001000
0000111

Avant lissage

Après lissage

2)- 100
100
110
110
110
010
010

100
100
010
010
010
010
010

Avant lissage

Après lissage

5. TRAITEMENT D'UNE IMAGE PHOTOGRAPHIQUE AERIENNE DIGITALISEE:

L'objet de ce paragraphe est le traitement numérique d'un échantillon de photographie aérienne. Sur cet échantillon nous établirons les algorithmes de reconnaissance de formes et de détection de contours.

Les différentes étapes de notre processus sont:

- Obtention de l'image numérique
- Enregistrement des données de l'image (niveau de gris)
- Transformation de cette image en une image gradient
 - .Gradient simple
 - .Gradient amélioré
- Filtrage de l'image gradient
- Affinage et lissage
- Représentation graphique

5.1.OBTENTION DE L'IMAGE NUMERIQUE:

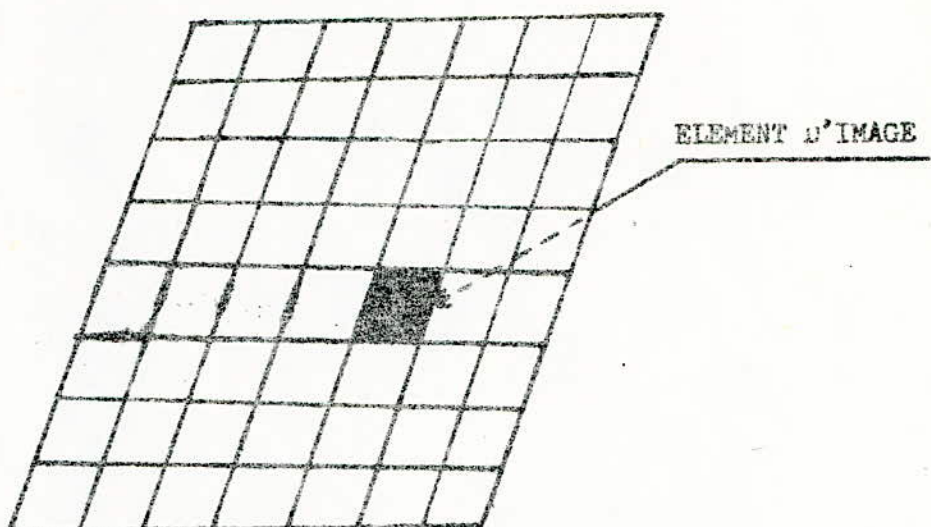
La numérisation d'une image photographique se fait point par point. Pour cela l'image est divisée en surfaces élémentaires dont les dimensions dépendront de la précision de l'appareil de numérisation utilisé.(fig.2)

Dans notre cas l'image a été déjà digitalisée et elle est de dimension (30x60) soit 1800 point. Chaque point représentant une valeur de ton de gris.

5.2.ENREGISTREMENT DES DONNEES:

Les valeurs numériques obtenues par digitalisation constituent les

fig.2



dennées de l'image, elles représentent les informations nécessaire à son traitement. Ces données se présentent sous forme d'une matrice. Afin de pouvoir les manipuler par ordinateur, il est nécessaire de les enregistrer sur une de ses unités périphériques (bande magnétique, disque ou cartes perforées). Dans le cas de l'échantillon choisi ici, le nombre d'information à traiter étant relativement réduit, nous avons opté pour l'enregistrement sur cartes perforées.

5.3. TRANSFORMATION DE L'IMAGE EN UNE IMAGE GRADIENT:

a-GRADIENT SIMPLE:

Pour obtenir l'image gradient, on établit le programme qui consiste à:

—IMPRIMER LA MATRICE DE DONNÉES

—CALCULER ET IMPRIMER L'IMAGE GRADIENT

—CODER L'IMAGE:

Pour cela on choisit un seuil et on compare la valeur du gradient de tous les points à ce dernier. Si le gradient est supérieur au seuil, on le remplace par un point (.), si non par un blanc ().

b-GRADIENT AMÉLIORÉ:

On procède de la même manière, et on compare le résultat obtenu avec le précédent.

c-COMPARAISON:

D'après les résultats obtenus, nous constatons que la méthode du gradient amélioré, met plus en évidence les contours, ainsi qu'elle réduit l'effet des points bruités.

5.4. CONCEPTION DU PROGRAMME DE DETECTION DE CONTOURS:

Ce programme est conçu pour détecter et tracer les contours d'une image numérique dont les valeurs sont enregistrées sur cartes perforées.

STRUCTURE DU PROGRAMME:(fig.3)

-Le programme principal permet de réservé l'espace mémoire nécessaire au travail à effectuer, et d'appeler les différents sous programmes.

-Le sous programme GRADA permet de calculer le gradient amélioré de l'image.

-Le sous programme IBIN permet de filtrer l'image transformée.

-Le sous programme TRANS son rôle est de résoudre le problème de traitement aux limites, pour cela on inclut l'image binaire (30x60) dans une image (32x62), dont ses éléments sont des zéros (0).

-Le sous programme ILLISS permet d'affiner et de lisser les contours.

-Le sous programme ICOD permet de tracer les contours.

REMARQUE:

Toutes les fonctions d'entrées-sorties sont indiquées sur le tableau de la figure.4.

Fig. 3

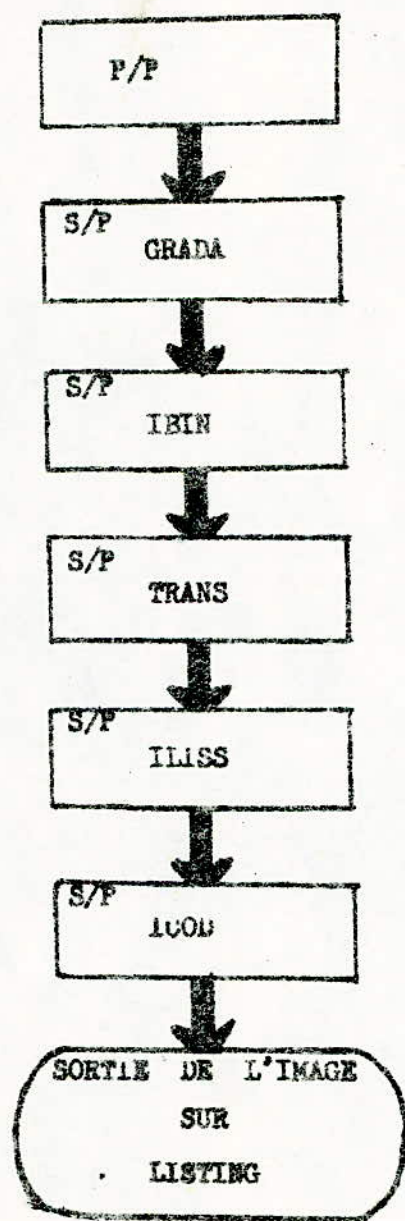


fig.4

NOMS DES SUB-ROUTINES	FONCTIONS	ENTREES	SORTIES
GRADA	calcul du gradient de chaque point de l'image	matrice des données de l'image Nombre de ligne L'nombre de colonne	matrice gradient (N,L)
IWIN	filtrage de l'image gradient fenêtre choisie (5x5)	matrice gradient (N,L)	matrice binaire (N,L)
TRANS	resolution du problème aux limites	matrice binaire (N,L)	matrice binaire (N+2,L+2)
LISS	affinage et lissage des lignes de centeurs	matrice binaire (N+2,L+2)	matrice binaire lissée (N+2,L+2)
1009	tracé les lignes de centeurs	matrice binaire lissée (N+2,L+2)	image codée par des points et des blancs

T R O I S I E M E P A R T I E

-o- LA TEXTURE -o-

I) TEXTURE DES IMAGES DE TELEDETECTION.

La signature spectrale d'un point d'une image est habituellement considérée comme l'information caractéristique de chaque pixel. Or, caractériser complètement un pixel c'est ajouter à la démarche précédente, la description de l'environnement de ce pixel c'est à dire l'information spatiale dans son voisinage. Cette dernière peut se diviser en deux groupes : la structure, qui décrit la manière dont les objets de l'image sont arrangés entre eux, et, la texture, qui exprime la distribution des tons de gris à l'intérieur de ces objets.

1) Définition de la texture :

Nous appelons " information de texture d'un pixel " l'information apportée par l'ensemble des pixels appartenant à un voisinage approprié de celui-ci.

Si nous considérons maintenant une région d'image définie par ses frontières, nous appellerons " texture d'une région donnée " les caractéristiques de répartition spatiale des niveaux de gris des pixels dans cette région, d'où la notion de spatialité et de localité.

L'idée de spatialité implique que la texture n'est pas liée au ton de gris d'un point mais aux relations spatiales entre points voisins ou entre objets élémentaires de petite taille. Ces objets élémentaires ne sont pas considérés comme des individualités isolées mais seulement comme composantes d'un motif.

L'idée de localité implique que les objets élémentaires composant la texture doivent être de petite taille et décrit le comportement de la distribution des tons de gris sur le voisinage de chacun des points de l'image.

Une approche plus globale consiste, dans les définitions suivantes, à lier la définition de la texture au processus d'interprétation. Le photo-interpréteur définit un ensemble de texture sur l'image comme le mathématicien définit une structure sur un ensemble

Trois postulats intuitifs sont utilisés (Guy 1970)

- Il est possible d'isoler des " formes " en les distinguant par un moyen quelconque.

- Chacun de ces formes se répètent, est reconnaissable et permet ainsi la définition des classes d'éléments.

- Ces classes d'éléments peuvent être organisées entre elles ou entre sous classes.

Un élément textural est une de ces formes particulières reconnue comme faisant partie d'une classe qui est une texture, la structure est alors une propriété caractéristique de l'organisation des classes (Postulat 3).

Mathématiquement, le premier postulat définit, à partir de l'image, un ensemble \mathbb{E} (Braonne 1975), le second postulat définit une relation d'équivalence \mathcal{R} sur l'ensemble \mathbb{E} de "formes" dont les classes d'équivalence ont plus d'un élément, le troisième postulat exprime simplement l'existence de l'ensemble des parties de \mathbb{E} .

Au total, une texture devient une classe d'équivalence (élément de l'ensemble quotient \mathbb{E}/\mathcal{R}). Un élément textural, le couple $(e, \bar{e}) \in \mathbb{E} \times \mathbb{E}/\mathcal{R}$, et, une structure est un sous ensemble de $\mathcal{P}(\mathbb{E} \times \mathbb{E}/\mathcal{R})$.

L'ensemble \mathbb{E} est donc composé, dans notre définition, de parties de D (domaine spatial de l'image) de petite taille formant un recouvrement de D , chaque partie P de D , élément de \mathbb{E} , est affectée d'un coefficient vectoriel $m(P) = (m_1, \dots, m_k) \in \mathbb{N}^k$ qui mesure la distribution spatiale des tons de gris sur P . Les relations d'équivalence définies sur \mathbb{E} ne tiennent compte que des propriétés spatiales locales exprimées par m . Ce sont, en général, des relations déduites de la partition de \mathbb{E} par m^{-1} .

$$P_1 R P_2 \iff m(P_1) = m(P_2)$$

$$\iff \exists n \in \mathbb{N}^k \text{ tq } P_1 \text{ et } P_2 \in m^{-1}(n)$$

Une texture est alors une classe de parties de D ayant localement des caractéristiques semblables de distribution de tons gris. Une valeur particulière de m caractérise une texture.

2) PLACE DE LA TEXTURE DANS L'INTERPRETATION DE DIFFERENTES IMAGES DE TELEDETECTION:

La texture est un élément d'analyse utilisé dans plusieurs domaines:

-Domaine médical: pour l'étude automatique de radiographies (SUTTON et HALL, 1972), pour l'étude de photographies microscopiques de chromosomes (ROSENFIELD, 1972).

-Domaine métallurgique: Pour l'étude microscopique des impuretés des métaux.

-Domaine de teledetection: Pour l'étude d'images de la surface terrestre.

Dans notre cas, nous étudierons des images prises à partir de satellites LANDSAT.

La texture des images satellites permet de distinguer de grandes unités de paysage: l'arrangement de l'espace agricole, par exemple.

HARRALICK (1973) a pu appliquer avec succès des méthodes d'analyse texturale à des images de satellite, reconnaissant des forêts cotières, des bois, des prairies, des villes et des zones urbaines.

3) TECHNIQUES NUMERIQUES D'ANALYSE DE LA TEXTURE:

Les techniques d'analyse de la texture d'images sont très nombreuses utilisant des méthodes optiques ou numériques. Nous présenterons les techniques numériques les plus importantes en distinguant celles dont le but est de quantifier la notion de texture.

3.1. ETUDE DE QUELQUES SIGNATURES DE TEXTURE:

Dans le but de classer les différentes méthodes d'analyse de la texture, HARRALICK et AL distinguent des méthodes classées en plusieurs groupes.

Le premier groupe comprend trois méthodes plus ou moins liées à la mesure des fréquences spatiales d'une sous-image: fonction d'autocorrelation, transformées orthogonales et mesure de densité de frontières.

a-La méthode utilisant les transformations orthogonales telles que les transformations de Fourier, d'Hadamard...

La sous-image à classer, d'abord représentée par les tons de gris de ses points, est réexprimée sur de nouveaux axes reliés à la fréquence spatiale.

b-Dans la méthode utilisant la mesure de la densité de frontières, les hautes fréquences sont traduites par une densité de frontières élevée indiquant la présence d'une texture fine.

D'autres groupes mettent en évidence la méthode des éléments structuraux où est détectée, sur une image binaire la disposition régulière de formes élémentaires (éléments structuraux).

La dernière méthode est celle des matrices de co-occurrence où l'on

mesure, pour chaque sous-image, la probabilité de rencontre de deux tons de gris dans une relation spatiale donnée.

Deux méthodes ont été appliquées à la texture et elles sont bien différentes.

Les matrices de co-occurrence et les méthodes utilisant les transformations locales.

3.1.1. LES MATRICES DE CO-OCCURRENCE:

L'idée maîtresse de cette méthode est de supposer que "l'information texturale d'une image est contenue dans les relations spatiales globales ou moyennes que les tons de gris de l'image ont entre eux"

On construit pour la sous-image étudiée, une matrice $P = (p_{ij})$ où p_{ij} est le nombre de fois que les tons de gris i et j entrent dans une relation spatiale donnée ("voisin de" dans une direction donnée).

Plus précisément, P_d , est la matrice de probabilité de rencontre des tons de gris i et j pour des points distants de d et formant un angle (θ) avec l'horizontale.

Considérons un exemple d'image (4×4) de ton de gris entre 0 et 3.

0	0	1	1
0	0	1	1
0	2	2	2
2	2	3	3

La matrice de co-occurrence $P_d(i,j)$ dans la direction horizontale ($d = (1,0)$) est :

I	0	1	2	3
0	4	2	1	0
1	2	4	0	0
2	1	0	6	1
3	0	0	1	2

C'est de cette matrice que l'on extrait les paramètres texturaux, pour cela 14 indices de texture sont calculés pour chacune des 4 directions, ou bien moyennés sur ces directions.

Nous avons les indices suivants:

$$f_1 = \sum_{i=1}^N \sum_{j=1}^N p_{ij}^2$$

$$f_2 = \sum_{n=0}^{N-1} n^2 \left(\sum_{i-j=n} p_{ij} \right)$$

$$f_3 = \frac{\sum_i \sum_j (ixjxP_{ij} - u_x u_y)}{\sigma_x \sigma_y} \quad (\text{corrélation})$$

$$f_4 = \sum_i \sum_j (i-j)^2 x P_{ij} \quad (\text{variance})$$

$$f_5 = \sum_i \sum_j \frac{1}{1 + (i-j)^2} P_{ij} \quad (\text{moment des différences inverses})$$

$$f_6 = \sum_{k=2}^{2N_G-1} k \cdot P_{x+y}(k) \quad \text{avec} \quad P_{x+y}(k) = \sum_i \sum_j P(i,j) \quad i+j=k$$

(moyenne des sommes)

$$f_7 = \sum_{k=2}^{2N_G-1} (k - f_6)^2 P_{x+y}(k) \quad (\text{variance des sommes})$$

$$f_8 = - \sum_{k=2}^{2N_G-1} P_{x+y}(k) \log (P_{x+y}(k)) \quad (\text{entropie de la somme})$$

$$f_9 = - \sum_i \sum_j P(i,j) \log (P(i,j)) \quad (\text{entropie})$$

$$f_{10} = \sum_{k=0}^{N_G-1} (k - u_{x-y})^2 P_{x-y}(k) \quad \text{avec} \quad u_{x-y} = \frac{1}{N_G} \sum_{k=0}^{N_G-1} P_{x-y}(k)$$

(variance des différences) et $P_{x+y} = \sum_i \sum_j P(i,j) \quad \text{avec } i+j=k$

$$f_{11} = - \sum_{i=0}^{N_G-1} P_{x-y}(i) \log (P_{x-y}(i)) \quad (\text{entropie des différences})$$

$$f_{12} = \frac{HXY - HXY1}{\max(HX, HY)} \quad (\text{deux mesures de corrélation de l'information})$$

$$f_{13} = (1 - \exp(-2.0(HXY2 - HXY)))^{1/2} \quad (f_{12} \text{ et } f_{13})$$

avec $HXY = f_9$

$$HX = - \sum_{k=0}^{N_G-1} P_x(k) \log (P_x(k))$$

$$HY = - \sum_{k=0}^{N_G-1} P_y(k) \log (P_y(k))$$

$$HXY1 = - \sum_i \sum_j P(i,j) \log (P_x(i)P_y(j))$$

$$HXY2 = - \sum_i \sum_j P_x(i)P_y(j) \log (P_x(i)P_y(j))$$

$$\text{et } P_x(i) = \sum_{j=1}^{N_G} P(i,j)$$

$$P_y(j) = \sum_{i=1}^{N_G} P(i,j)$$

$$f_{14} = (\text{deuxième valeur propre la grande de la matrice } Q(i,j).)^{1/2}$$

$$\text{avec } Q(i,j) = \sum_{k=1}^{N_G} \frac{P(i,j).P(k,j)}{P_x(i).P_y(j)}$$

(coefficient de corrélation maximum)

Ng : est le nombre de tons de gris

P_{ij} : matrice de co-occurrence normalisée

les moyennes et écarts types des distributions marginales associées à P

f_1 : moment angulaire du second ordre croissant avec l'homogénéité de l'image

f_2 : mesure du contraste

f_3 : mesure de corrélation

f_9 : entropie mesurant le degré de désordre de l'image

La richesse de cette méthode consiste dans le nombre d'aspects de la texture reflétés par ces 14 indices, qui ne sont pas obligatoirement utilisés ensemble mais parmi lesquels, on peut effectuer un choix suivant le type d'application envisagé.

Plusieurs de ces indices peuvent se recouper, ainsi f_9 (entropie) appliqué à plusieurs sous-images tests donne un ordre de classement inverse du moment angulaire (f_1).

1.3.2. TRANSFORMATIONS LOCALES, DENSITE DE FRONTIERE :

Dans la méthode utilisant les matrices de co-occurrence, on étudie les relations spatiales entre tons de gris (espace spectral). A l'inverse les méthodes utilisant les transformations locales utilisent les relations spectrales entre points (espace géométrique).

Ces méthodes comparent les tons de gris de deux points, les tons de gris étant ceux de l'image originale ou ceux résultant d'un traitement antérieur.

Precisons dans ce cas que:

- La comparaison consiste simplement à faire la différence entre les tons de gris (opérateur local: gradient).

- Les deux points comparés seront dans une relation spatiale donnée (par exemple: voisins horizontaux).

- Le ton de gris du point reflétera alors une propriété locale du voisinage du point sur l'image originale.

-ROSENFELD (1969) a proposé un algorithme simple qui consiste à remplacer la valeur de point par la différence de deux points de son voisinage sur deux cotés opposés.

Soit $I(x-1,y)-I(x+1,y)$ pour la direction horizontale.
Cette mesure du gradient est ensuite moyennée sur le voisinage de (x,y) , ce qui donne un paramètre textural pour le point (x,y) .

-SUTTON et HALL (1972) étendent cette notion de gradient local, ils calculent pour chaque sous-image étudiée:

$$g(d) = \sum_{i,j} \left[|I(i,j) - I(i+d,j)| + |I(i,j) - I(i-d,j)| + |I(i,j) - I(i,j+d)| + |I(i,j) - I(i,j-d)| \right]$$

L'étude du graphe de $g(d)$ revèle les propriétés texturales de la sous-image.

-ROSENFELD et AL (71,72) proposent des algorithmes fondés sur des combinaisons de gradients de plusieurs tailles et sur des images moyennées pour détecter des frontières, des taches ou des traits d'une image.

DETECTION DE FRONTIERES:

La détection de frontières se fait en 4 étapes:

1) Calcul de moyennes sur voisinages variables de taille $2^k \times 2^k$

$$A_K(x,y) = \frac{1}{(2^k \times 2^k)} \sum_{i=x-2^{k-1}}^{x+2^{k-1}} \sum_{j=y-2^{k-1}}^{y+2^{k-1}} a(i,j)$$

2) Pour chaque taille k , pour chaque point (x,y) , calcul des différences entre voisinages de même direction de chaque côté du point (x,y) . Ceci est calculé pour les quatres directions : horizontale, verticale, première et deuxième diagonales.

Par exemple, pour la direction horizontale:

$$E_{KH}(x,y) = A_K(x+2^{k-1},y) - A_K(x-2^{k-1},y)$$

On prend alors la valeur maximale de ces quatres différences, ce qui détermine la meilleure orientation.

3) Pour chaque point, choix de la meilleure taille k qui est la plus

grande taille telle que la taille inférieure $k-1$ donne:

$$E_k > E_{k-1} \text{ de } 75\%$$

4) Elimination de tout point qui a dans son voisinage et dans une direction perpendiculaire à sa meilleure orientation un gradient plus élevé.

DETECTION DE TACHES:

Remplacer l'étape 2 par l'étape suivante:

Pour chaque point (x,y) et chaque taille de voisinage, on effectue les différences entre $A_k(x,y)$ et les voisinages de même taille autour du point. Les valeurs positives de ces différences détectent la présence d'une tache.

DETECTION DE TRAITS:

Pour chaque taille de voisinage, on effectue les différences entre $A_k(x,y)$ et les moyennes sur des paires de voisinages de même taille et de côtés opposés de (x,y) , ceci dans toutes les directions. Si une paire de différences, pour l'orientation θ , est positive et si ceci est vrai aussi en remplaçant (x,y) par les deux points de son voisinage situés dans la direction $\theta + \frac{\pi}{2}$, on prend la moyenne de ces 3 paires de différences comme valeur du détecteur de traits.

Les deux méthodes (matrices de co-occurrence et transformation locale) sont d'une richesse d'interprétation égale, les matrices de co-occurrence par le nombre d'indices f_i exprimant divers aspects de la notion de texture et ces transformations locales, par les multiples possibilités de combinaisons de gradient dans diverses directions et tailles.

Les matrices de co-occurrence possèdent toute fois une plus grande lourdeur due aux calculs d'indices sur des blocs assez importants entraînant donc une perte de résolution (temps machine).

De plus, les méthodes utilisant les transformations locales présentent, pour nous, une plus grande facilité d'implantation qui se traduit aussi par un coût moins important.

C'est donc cette dernière approche que nous avons développée en montrant les diverses possibilités d'utilisation des transformations locales de plus simples aux plus complexes.

2. TRANSFORMATIONS LOCALES:

2.1. INTERET DES TRANSFORMATIONS LOCALES POUR L'ETUDE DE LA TEXTURE:

Ce chapitre sera consacré à la définition et à l'étude d'une formulation mathématique de la texture. Cette formulation utilise un ensemble d'applications qui modifient le ton de gris d'un point en fonction des tons de gris de ses voisins d'où leur nom de " TRANSFORMATIONS LOCALES ".

La manière dont on tient compte du voisinage met en évidence sur l'image dérivée différentes caractéristiques de la répartition locale des tons de gris.

Ces transformations locales sont adaptées à la quantification de texture: Elles expriment en effet les rapports d'inston de gris du point avec ceux de ses voisins, ce qui résume les idées de spatialité et de localité comprises dans la définition de la texture.

D'autre part, les transformations locales sont nombreuses, offrant une large gamme de possibilités de quantification, en général très simples, donc d'une implantation facile et d'un coût informatique peu élevé.

Notons qu'il y a trois possibilités d'utilisation des transformations locales:

Une transformation T_n s'écrit:

$$T_n: I(x,y) \longrightarrow I_n(x,y)$$

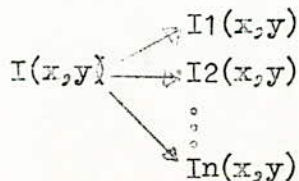
I: Image originale

• I_n : Image transformée

L'étude de la texture utilise les transformations locales de trois manières principales:

a. Etude directe de l'image transformée I_n visualisée sur imprimante, console graphique ou écran, cela en vue d'une aide à l'interprétation visuelle ou d'un traitement automatique ultérieur.

b. Classification multidimensionnelle où chaque dimension est obtenue en appliquant à l'image originale I une transformation T_n .



A chaque point correspondent un vecteur à n dimensions ($I(x,y) \dots I_n(x,y)$) qui représente la texture de son voisinage.

c. Classification multidimensionnelle où chaque dimension est un paramètre textural t_i issu de la comparaison entre les n transformées locales.

$$(x,y) \longrightarrow (I_1(x,y), I_2(x,y), \dots, I_n(x,y)) \\ \longrightarrow (t_1(x,y), t_2(x,y), \dots, t_k(x,y))$$

avec par exemple:

$$t_i(x,y) = \max(I_1(x,y), \dots, I_n(x,y))$$

Dans chaque cas, l'ensemble E, la relation R et la mesure m revêtent une forme différente.

E est l'ensemble des voisinages des points de l'image I_n , m est le scalaire $I_n(x,y)$.

$$E = \{ (V(x,y), I_n(x,y)) \text{ tq } (x,y) \in D \} \\ = \\ = \{ e(x,y) \text{ tq } (x,y) \in D \}$$

2.2. TRANSFORMATIONS LOCALES: DEFINITIONS-THEOREME.

2.2.1. IMAGE DIGITALE NUMERISEE:

Définition: C'est une application de $D = IC \times IL$ $\subset N \times N$ dans $T \subset N$. T, IC, IL étant des sous ensembles de N de la forme $\{1, 2, \dots, n\}$

$$I: (x,y) \in D \longrightarrow t = I(x,y) \in T$$

-D est le domaine spatial de l'image.

-IC et IL déterminent respectivement le nombre de colonnes et de lignes.
(x,y) est le point de résolution élémentaire de l'image..

-t est le ton de gris du point.

2.2.2. VOISINAGE:

Définition: $V(x,y)$ est un voisinage du point (x,y) si et seulement si:

- $V \in P(D)$
- $(x,y) \in V(x,y) \quad \forall (x,y) \in D$
- $(x',y') \in V(x,y) \Rightarrow (x,y) \in V(x',y')$

Par la suite, les voisinages utilisés sont les sous ensembles de $P(D)$

V_k et W_k définis par les expressions suivantes:

$$V_k(x,y) = \{x-k, x-k+1, \dots, x+k\} \times \{y-k, y-k+1, \dots, y+k\}$$

$$W_k(x,y) = \{x-k, x+k\} \times \{y-k, y+k\} + V_{k-1}(x,y)$$

. x
. x .	. x .	. . x x . .
.
		.	
W1	V1	W2	V2

L'ensemble des parties ainsi défini permet de construire des concepts analogues à ceux de la Topologie générale:

Ouvert, fermé, intérieur . . .

-INTERIEUR D'UN SOUS ENSEMBLE A DE D :

Soit $A \in (D)$, par définition, l'intérieur de A est le sous ensemble

$$\dot{A} = \left\{ a \in A \text{ tq } V(a) \subset A \right\}$$

-ENSEMBLE OUVERT:

$$A \text{ ouvert} \Leftrightarrow \dot{A} = A$$

-ENSEMBLE FERME:

$$A \text{ fermé} \Leftrightarrow \dot{A} \text{ ouvert}$$

2.2.3. TRANSFORMATION LOCALE:

a) Définition.

Soit un voisinage V défini sur le domaine D d'une image I par

$$(x_0, y_0) \in D \implies V(x_0, y_0) = \{(x_0, y_0), (x_1, y_1), \dots, (x_n, y_n)\}$$

Une transformation locale sur le voisinage V est une application de l'ensemble \mathbb{I} des images sur D dans lui-même défini par

$$I \longrightarrow \mathcal{T}(I) = I'$$

$I': (x, y) \in D \implies K(I(x_0, y_0), I(x_1, y_1), \dots, I(x_n, y_n))$ où K est un opérateur de N dans N .

I : image originale

I' : image transformée de I

Une transformation locale agit uniformément sur toute l'image, d'où son intérêt pour le traitement et la reconnaissance des zones texturales.

Cela sera précisé et démontré dans le paragraphe qui suit. Une classe particulière de transformations locales sera étudiée: les T.L linéaires.

b) Invariance en position:

Définition (ROSENFIELD 69):

Une transformation \mathcal{I} de \mathbb{J} dans lui même est dite invariante en position si, T_{kl} étant la transformation définie sur \mathbb{J} par:

$$T_{kl}(I)(x,y) = I(x-k,y-l)$$

On a :

$$\forall I \in \mathbb{J} \quad (T_{kl}(I)) = T_{kl}(\mathcal{I}(I))$$

Une transformation invariante en position agit uniformément sur toute l'image.

THEOREME:

Toute transformation locale est invariante en position

$$\forall I \in \mathbb{J} \quad T_{kl}(I) = K(T_{kl}(I)(x_0, y_0), T_{kl}(I)(x_1, y_1), \dots, T_{kl}(I)(x_n, y_n))$$

sur $V(x_0, y_0)$

$$= K(I(x_0-k, y_0-l), I(x_1-k, y_1-l), \dots, I(x_n-k, y_n-l))$$

sur $V(x_0-k, y_0-l)$

$$= T_{kl}(\mathcal{I}(I))$$

c) Transformations locales linéaires:

(i) Définition:

Une transformation \mathcal{I} de \mathbb{J} dans lui même est linéaire si et seulement si:

$$\forall I_1, I_2 \in \mathbb{J}$$

$$\mathcal{I}(aI_1 + bI_2) = a\mathcal{I}(I_1) + b\mathcal{I}(I_2)$$

$$\forall a, b \in \mathbb{N}$$

(ii) Expression d'une transformation locale linéaire:

Dans ce paragraphe, la T.L. est définie sur un voisinage V_n , ceci pouvant être facilement généralisé.

THEOREME:

Soit \mathcal{I} une T.L. linéaire définie sur le voisinage V_n et I' l'image transformée de I par \mathcal{I} , alors, il existe des coefficients entiers

$((a_{k,l}), k' = -n, \dots, +n, l' = -n, \dots, +n)$ tels que:

$$I'(x, y) = \sum_{k'= -n}^{+n} \sum_{l'= -n}^{+n} a_{k', l'} I(x-k', y-l')$$

Démonstration:

Toute image peut s'écrire sous la forme

$$I = \sum_{k=1}^K \sum_{l=1}^L I(k,l) \cdot T_{kl}(I_o)$$

Où I_o est la fonction de Z^2 dans N définie par:

$$I_o(0,0) = 1$$

$$I_o(x,y) = 0 \quad \text{si } (x,y) \neq (0,0)$$

Soit une transformation locale linéaire :

$$\tilde{\mathcal{E}}(I) = \sum_k \sum_l I(k,l) \cdot T_{kl}(I_o)$$

$$= \sum_k \sum_l I(k,l) \tilde{\mathcal{E}}(T_{kl}(I_o))$$

puisque $\tilde{\mathcal{E}}$ est invariante en position

$$\tilde{\mathcal{E}}(I) = \sum_k \sum_l I(k,l) T_{kl}(\tilde{\mathcal{E}}(I_o))$$

$$\text{posons } I'_o = \tilde{\mathcal{E}}(I_o)$$

$$\text{alors } I'(x,y) = \sum_k \sum_l I(k,l) I'_o(x-k, y-l) \quad (1)$$

faisons le changement de variable

$$\begin{cases} k' = x - k \\ l' = y - l \end{cases}$$

$$I'(x,y) = \sum_{k'} \sum_{l'} I(x-k', y-l') \cdot I'_o(k', l') \quad (2)$$

l'expression garde un sens en posant $I(x,y) = 0$ si (x,y) est en dehors du domaine de l'image.

posons

$$a_{k'l'} = I'_o(k', l'), \quad I' s'écrit donc$$

$$I'(x,y) = \sum_{k'} \sum_{l'} I(x-k', y-l') a_{k'l'} \\ \text{ce qu'il fallait démontrer.}$$

Plus précisément:

$$\begin{aligned} I'(k', l') &= \tilde{\mathcal{E}}(I_o)(k', l') \\ &= K(I_o(k', l'); I_o(k'-n, l'-n), \dots, I_o(k'-i, l'-j), \dots, \\ &\quad I_o(k'+n, l'+n)) \quad \text{sur } V_n(k', l') \end{aligned}$$

$$i = -n, \dots, +n$$

$$j = -n, \dots, +n$$

Le terme $I_o(k'-i, l'-j)$ est nul sauf pour

$$\begin{cases} i = k' \\ j = l' \end{cases}$$

On a donc deux cas:

1^{er} cas: $-n \leq k' \leq +n$
 $-n \leq l' \leq +n$

$$I'_o(k', l') = K(0, 0, \dots, 1, 0, \dots, 0)$$

$$(i, j) = (k', l')$$

2^{ème} cas: $k' > n$ ou $k' < -n$
 $l' > n$ $l' < -n$

$$I'_o(k', l') = K(0, 0, \dots, 0) = 0 \quad \text{par linéarité}$$

Donc

$$a_{k', l'} = 0 \text{ si } (k', l') \in (-n, +n) \times (-n, +n)$$

$$a_{k', l'} = K(0, 0, \dots, 1, 0, \dots, 0) \text{ si } (k', l') \in (-n, +n) \times (-n, +n)$$

REMARQUE:

Les équations (1) et (2) appartiennent à un produit de convolution

$$Z(I) = I' = I'_o * I_o$$

La fonction I'_o et par conséquent la matrice $(a_{k', l'})$ déterminent la transformation locale Z .

La fonction I'_o , donne la réponse de la T.L. à un signal unité localisé en un point de l'image.

d) Domaine de l'image transformée:

L'expression de la transformée $I'(x_o, y_o)$ nécessite la connaissance de I sur le voisinage V du point (x_o, y_o) . Pour les points du bord de l'image la transformation n'est définie que sur le voisinage TRONQUÉ $V \cap D$.

Deux solutions sont possibles

- Les bords de l'image sont négligés en ne traitant que les points (x_o, y_o) tels que $V(x_o, y_o) \cap D = \emptyset$. Seuls sont considérés les points intérieurs de D : le domaine de I' est alors $D' = D \cap V$.

- Le voisinage utilisé est un voisinage tronqué $V \cap D$ et $D' = D$.

Dans ce cas, c'est la Topologie liée au sous ensemble D qui est utilisée.

D'une manière générale, étant donné un objet A de l'image I (restriction de I à un sous ensemble A de D), la transformation locale est optimale pour \hat{A} .

Pour les points du bord de A, la valeur transformée prend en compte les tons de gris du point n'appartenant pas à A; faussant ainsi le résultat.

REMARQUE:

Ceci met en valeur l'importance du rapport de la taille du voisinage utilisé et de la taille des objets de l'image. Un voisinage trop grand donne : $a \in A \quad b \in A / b \neq v(a)$
(le voisinage dépasse l'objet A) d'où $\hat{A} = \emptyset$. Le résultat est mauvais.

2.3. DESCRIPTION DES TRANSFORMATIONS LOCALES UTILISEES:

L'opérateur K de la transformation locale est souvent linéaire. Dans ce cas, la valeur de l'image transformée en un point est une combinaison linéaire des tons de gris de ce point et de ses voisins.

La transformation est alors définie d'une part par la taille du voisinage et d'autres part, par la matrice carré de (a_{kl}) . La taille du voisinage est liée à la fréquence spatiale des phénomènes étudiés, la matrice (a_{kl}) met en valeur une propriété particulière de la distribution des tons de gris sur le voisinage.

Ces transformations décrivent le comportement de la fonction $I(x,y)$ au voisinage du point (x,y) . Celles-ci sont souvent adaptées par la discrétisation des opérateurs de géométrie différentielle (gradient, Laplacien).

Il existe donc, d'une part des opérateurs de différentiation (1^{er} de 2^{eme} ordre) qui mettent en valeur des contrastes et des variations de tons de gris, et d'autres part, des opérateurs d'intégration qui aboutissent à une régularisation de l'image.

Nous nous intéresserons dans ce qui suit à des transformations locales sur des voisinages V_1 .

2.3.1. MOYENNE:

C'est un opérateur d'intégration qui calcule la moyenne arithmétique des tons de gris du point et de ses voisins.

$$A_{\text{moy}} = \begin{bmatrix} 1/9 & 1/9 & 1/9 \\ 1/9 & 1/9 & 1/9 \\ 1/9 & 1/9 & 1/9 \end{bmatrix} \quad I'_{\text{moy}}(x_o, y_o) = \frac{1}{9} \left[\sum_{k=-1}^1 \sum_{l=-1}^1 I(x_o+k, y_o+l) \right]$$

2.3.2. ECART A LA MOYENNE:

C'est un opérateur de différentiation du 2^{ème} ordre correspondant au Laplacien (Rosenfield 69). Il calcule la différence entre le ton de gris du point central et la moyenne des tons de gris du voisinage.

$$A_{\text{ec}} = \begin{bmatrix} 0 & 0 & 0 \\ 0 & 1 & 0 \\ 0 & 0 & 0 \end{bmatrix} - A_{\text{moy}} = \begin{bmatrix} -1/9 & -1/9 & -1/9 \\ -1/9 & +8/9 & -1/9 \\ -1/9 & -1/9 & -1/9 \end{bmatrix}$$

L'écart à la moyenne met en valeur la singularité du point par rapport à son voisinage, il peut être positif ou négatif. Dans ce dernier cas, un décalage de l'origine est nécessaire pour satisfaire la définition d'une image numérisée ($I(x, y), N$).

2.3.3. ECART TYPE SUR LE VOISINAGE:

$$I'(x_o, y_o) = (1/9 \cdot \sum_{k=-1}^1 \sum_{l=-1}^1 I^2(x_o+k, y_o+l) - (1/9 \cdot \sum_{k=-1}^1 \sum_{l=-1}^1 I(x_o+k, y_o+l)^2))^{1/2}$$

Cet opérateur est utilisé comme mesure d'homogénéité de la distribution des tons de gris sur le voisinage. Contrairement à l'écart à la moyenne, il ne privilie pas le point central.

2.3.4. AUGMENTATION DU CONTRASTE:

Le ton de gris initial est remplacé par sa valeur augmentée algébriquement de l'écart à la moyenne.

Un point plus clair (respectivement plus foncé) que ses voisins deviendra encore plus clair (respectivement plus foncé).

$$A_c = \begin{bmatrix} 0 & 0 & 0 \\ 0 & 1 & 0 \\ 0 & 0 & 0 \end{bmatrix} + A_{\text{ec}} = \begin{bmatrix} +1/9 & -1/9 & -1/9 \\ -1/9 & +17/9 & -1/9 \\ -1/9 & -1/9 & -1/9 \end{bmatrix}$$

$$I'_c(x_o, y_o) = I(x_o, y_o) + I'_{\text{ec}}(x_o, y_o)$$

2.4. PRESENTATION DES RESULTATS:

2.4.1. ORGANIGRAMME ET PROGRAMMES:

2.4.1.1. METHODE DE ROSENFELD ET AL (71,72):

Cette méthode comprend quatre étapes dont l'organigramme est schématisé par la figure.5.

-Fonction des sous-programmes utilisés:

1^{ère} étape:

S/P INITIA son rôle est de ranger les données sur les différents vecteurs nécessaire aux calculs.

S/P MOY1 son rôle est de calculer la moyenne de tous les points d'une fenêtre (2x2).

S/P MOY2 son rôle est de prendre une fenêtre 4x4 et de calculer la moyenne de ses points.

S/P MOY3 même rôle que MOY1 et MOY2.

Fenêtre prise : 8x8 .

S/P RANG1 sa fonction est d'écrire les différentes moyennes sur disque.

2^{ème} étape:

S/P CLASS1,CLASS2,CLASS3 ils sont conçus pour classer les différentes moyennes sur des vecteurs permettant ainsi le calcul des différences.

S/P DIF1,DIF2,DIF3 leur fonction est de calculer les différences dans toutes les directions(DIF1: pour la taille 1, DIF2: pour la taille 2, DIF3: pour la taille 3).

S/P SUIT1,SUIT2,SUIT3 ils servent à transmettre le contenu de la ligne i-dans la ligne i-1 afin de balayer toute l'image.

S/P RANG1,RANG2: leur rôle est d'écrire respectivement la différence et la meilleure orientation sur disque.

3^{ème} étape:

S/P RANG3: son rôle est d'écrire la meilleure taille sur disque. (les S/P RANG1 et RANG2 ont la même fonction que dans la 2^{ème} étape).

4^{ème} étape:

S/P ORDRE: il a la même fonction que le S/P INITIA.

S/P TRACE1,TRACE2,TRACE3: leur rôle est de faire respectivement

le traitement de la première,deuxième et troisième ligne de l'image.

S/P TRACE: sa fonction est de tracer les frontières du reste de l'image.

S/P SUIT: il a le même rôle que SUIT1,SUIT2 et SUIT3.

2.4.1.2.DIFFERENTES METHODES DES T.L :

- L'organigramme est schématisé par la figure 6.

- Fonctions des sous programmes utilisés:

S/P MOYENN: son rôle est de calculer la moyenne de tous les points pris dans une fenêtre 3×3 , ainsi qu'il est utilisé pour le calcul du contraste,l'écart à la moyenne et l'écart type.

Notons que les S/P INITIA et SUIT ont les mêmes fonctions que précédemment.

fig.5

Opérations

Extraction des données
du disque

Fixation du nombre
de taille (égal à 3)

1^{ère} étape

Calcul des trois
MOYENNES

Enregistrement de ces MOYENNES sur disque

MOYENNE 1
(taille 1)

MOYENNE 2
(taille 2)

MOYENNE 3
(taille 3)

Calcul des différences dans toutes les
directions

2^{ème} étape

Choix de la meilleure direction et
cadrage de celle-ci

Enregistrement des différences et de
la meilleure direction sur disque

DIFFERENCE 1 et
meilleure direct*

DIFFERENCE 2 et
meilleure direct*

DIFFERENCE 3 et
meilleure direct*

3^{ème} étape

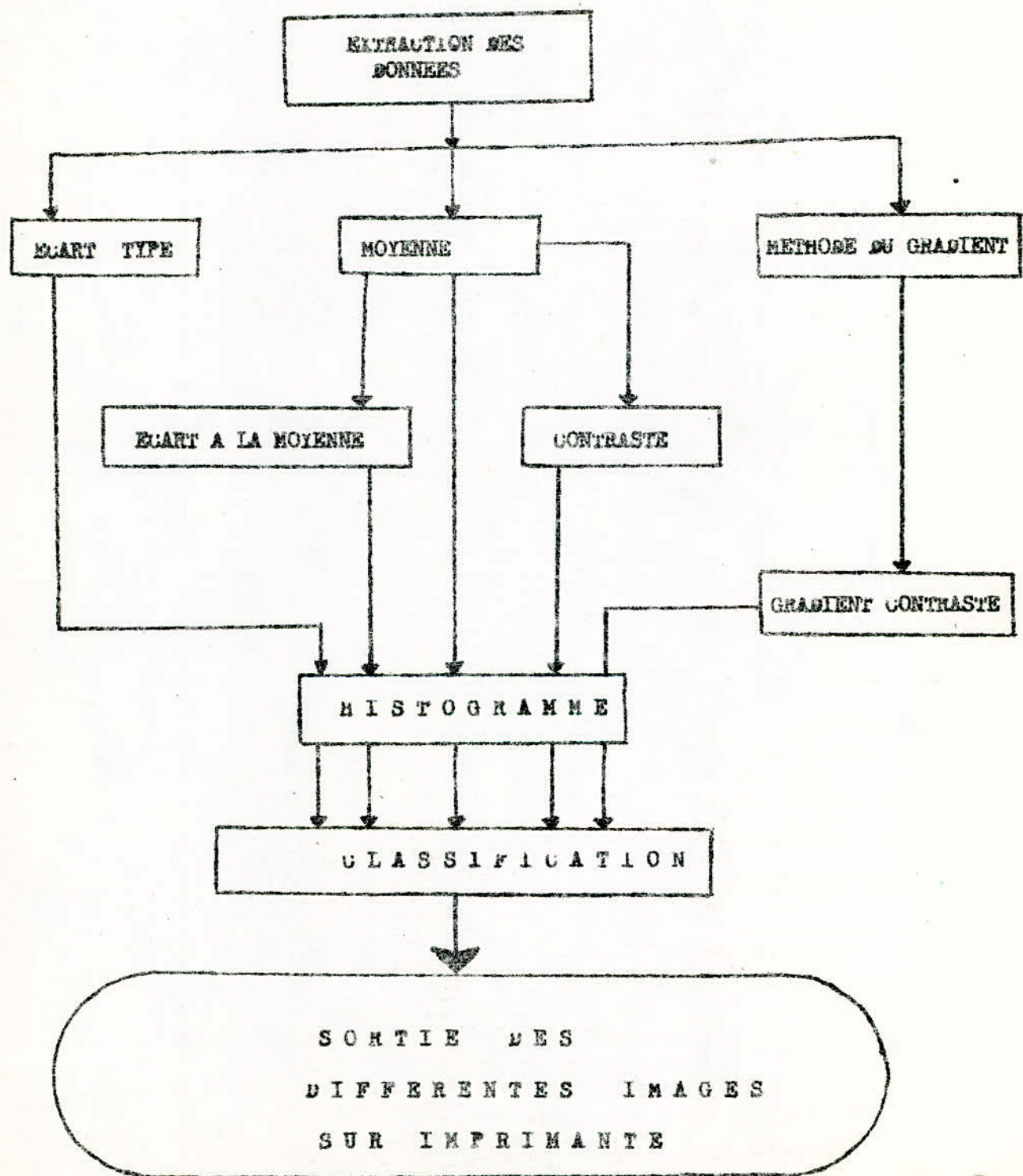
Choix de la
meilleure taille

Enregistrement sur disque
- la valeur de la différence
- la meilleure direction
- la meilleure taille

4^{ème} étape

Tracé des FRONTIERES et sortie sur
IMPRIMANTE

fig.6



NIVEAU FREQUENCE

1	252	I FFFFFFFF
2	0	I
3	0	I
4	0	I
5	1	I
6	4	I
7	7	I
8	77	I FFF
9	5	I
10	150	I FFFFFF
11	31	I
12	90	I FFFF
13	157	I FFFFFF
14	006	I FFFFFFFF
15	767	I FFFFFFFF
16	1299	I FFFFFFFF
17	2598	I FFFFFFFF
18	1472	I FFFFFFFF
19	1229	I FFFFFFFF
20	1097	I FFFFFFFF
21	1827	I FFFFFFFF
22	1581	I FFFFFFFF
23	731	I FFFFFFFF
24	616	I FFFFFFFF
25	474	I FFFFFFFF
26	200	I FFFFFF
27	252	I FFFFFF
28	329	I FFFFFF
29	276	I FFFFFF
30	178	I FFFFFF
31	120	I FFFF
32	113	I FFFF
33	78	I FFF
34	27	I FF
35	29	I F
36	28	I
37	28	I
38	55	I F
39	31	I
40	11	I
41	7	I
42	8	I
43	1609	I
44	9	I
45	7	I
46	4	I
47	1	I
48	2	I
49	2	I
50	4	I
51	4	I
52	4	I
53	1	I
54	0	I
55	2	I

HISTOGRAMME DES FREQUENCES

IMAGE GRADIENT AMELIORÉ CONTRASTEE

EN H REPRESENTE 25 VALEURS

I M A G E D , U N E

R E G I O N

D E L , I N D E

{ P A L N I }

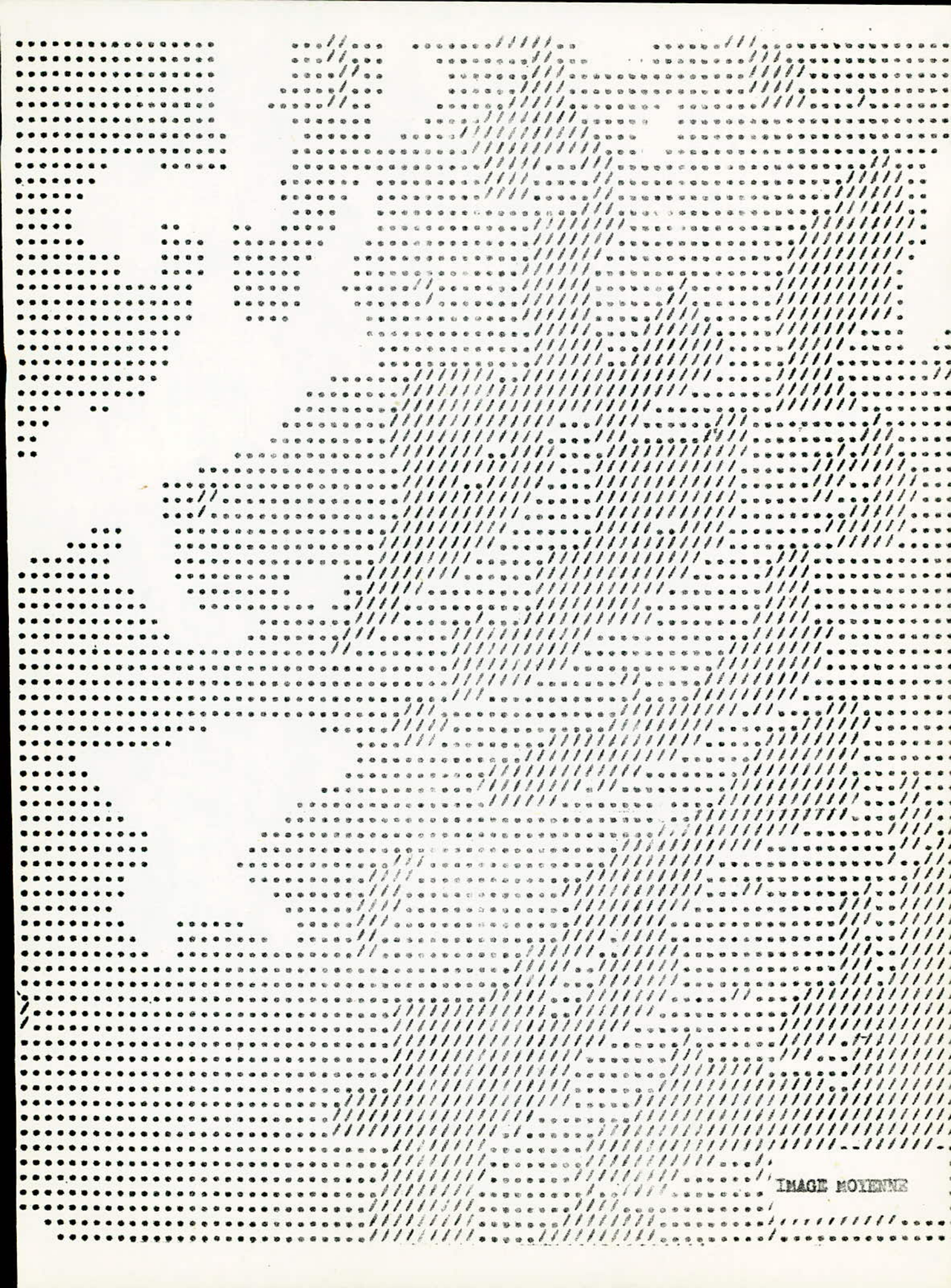


IMAGE MOYENNE

IMAGE CONTRASTE

IMAGE ECART A LA MOYENNE

IMAGE ECART TYPE

IMAGE GRADIENT AMELIORE

IMAGE G. AMELIORE CONTRASTE

IMAGE ROSENFIELD ET AL

I M A G E

D ' U N E

R E G I O N

D ' A L G E R

{ B A I E D ' A L G E R }

IMAGE MOYENNE



IMAGE G. AMELIORE CONTRASTE

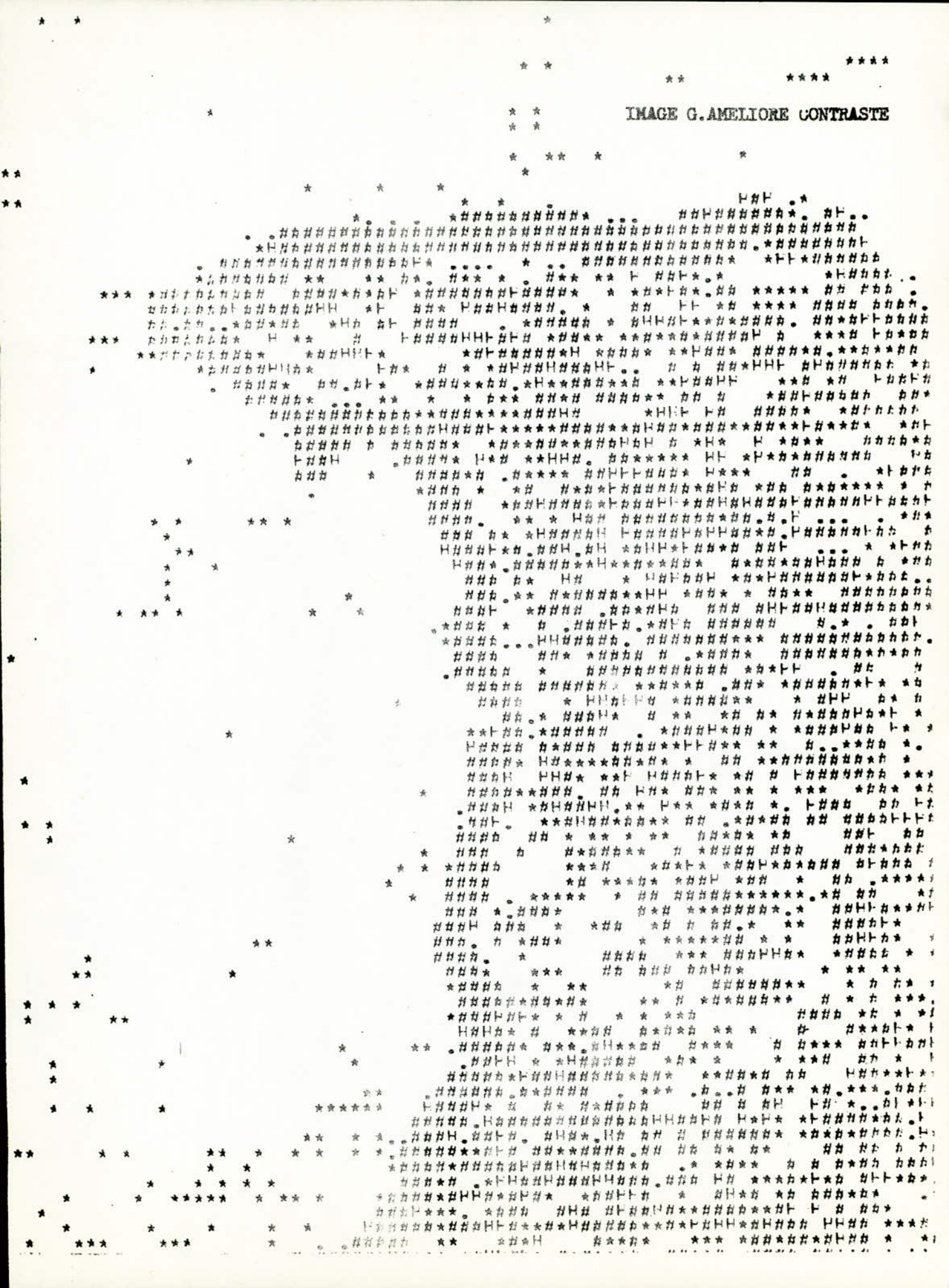


IMAGE ECART TYPE

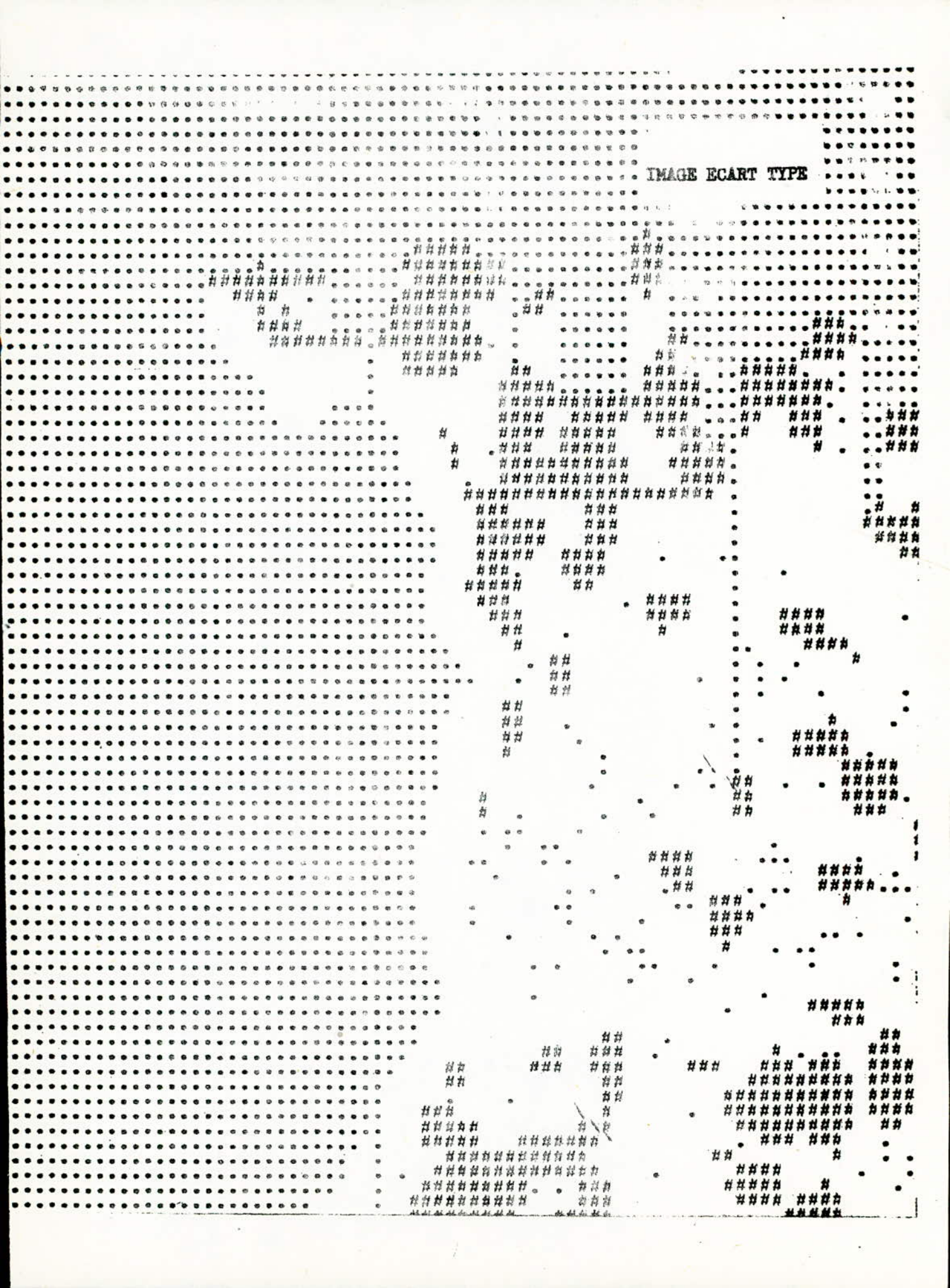


IMAGE ROSENFIELD ET AL

2.4.2. COMMENTAIRES DES RESULTATS:

Les zones étudiées sont extraites d'images LANDSAT, la première correspond à une région de l'INDE, la seconde à une région d'ALGER (baie d'alger).

Les résultats présentés portent sur une sous image (128x128) points.

Les deux régions étudiées sont extraites de l'image du satellite LANDSAT 1, celle d'alger a été prise le 30 Septembre 1979.

Plusieurs transformations locales sont appliquées à une partie de l'image M.S.S.7 (canal 7) dont la bande spectrale est de 0,8-1,1 micromètre.

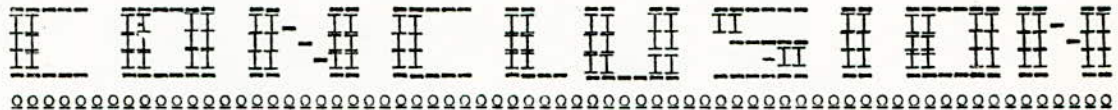
Sur l'image originale, le découpage de l'histogramme des tons de gris fait apparaître différentes classes.

Parmi les diverses transformées obtenues il y a celles qui présentent plus d'intérêt pour l'interprèteur par rapport à d'autres, et cela n'est dû qu'au choix du but recherché.

Nous citons l'effet de l'utilisation de chaque transformation locale appliquées sur les deux images indiquées ci-dessus, et cela par un tableau de la figure.7 dont lequel on résume toutes les transformations locales utilisées ainsi que le temps d'exécution des calculs mis par l'ordinateur pour chaque T.L. sur une image de (128x128) points

L'IMAGE QUE NOUS AVONS TRAITE EST DE DIMENSION (128x128) POINTS.

nom de la méthode utilisée	l'effet de la méthode sur l'image	observations	TEMPS DE CALCUL	TEMPS DE SORTIE D'UNIQUE GRILLE	TEMPS DE SORTIE DE L'IMAGE	TEMPS DE SORTIE GLOBAL
MOYENNE	-la différence entre les tons de gris de points voisins est atténuée -l'homogénéité est accentuée -le contraste est diminué.	les grandes zones homogènes sont mis en évidence.	31" 7	27"	33" 5	1' 37" 2
CONTRASTE	-le contraste est plus accentué	l'amélioration principale est une mise en évidence des structures.	34" 6	33" 7	39" 7	1' 48" 2
ECART A LA MOYENNE	-les points de forts contraste sont détectés.	cette détection dépend de la taille du voisinage.	47" 2	32" 7	37" 1	1' 57"
ECART TYPE	-permet de mesurer le degré d'homogénéité	régularisation des résultats	54" 8	38"	42"	2' 14" 8
GRADIENT AMELIORÉ	-les frontières sont détectées	dépend de ce qu'en veut détecter.	53" 5	40" 7	26" 7	2' 00" 9
GRADIENT AMELIORÉ CONTRASTE	-permet d'accentué le contraste des frontières détectées		43" 6	44" 9	31"	1' 59" 5
ROSENFELS et AL	-permet de détecter toutes les frontières existantes sur la zone étudiée.	encadrement des frontières, difficulté d'interprétation	1 ^{ère} étape: 2' 12" 7 2 ^{ème} étape: 1' 15" 6 3 ^{ème} étape: 1' 19" 8 4 ^{ème} étape: 2' 04" 5			6' 55" 6



Après avoir défini le concept de reconnaissance de formes et de texture, utilisé dans l'étude des images de télédétection, nous avons développé les différentes possibilités d'utilisation des transformations locales pour l'étude des informations texturales d'une image.

L'étude de ces possibilités montre que la création d'un répertoire ou dictionnaire de transformations locales ainsi que d'une syntaxe formée d'un ensemble de méthodes qui associent ces transformations entre elles permettra de développer un langage descriptif de la texture dont les avantages principaux sont la souplesse et la simplicité d'implantation informatique.

Appliquées aux images de télédétection, ces méthodes d'analyse de la texture permettent en particulier les réalisations suivantes :

- l'amélioration d'image en vue de l'interprétation visuelle, notamment pour le traitement en interactif. Cette amélioration porte sur la précision des contours, le tracé des frontières, etc... et s'applique à la fois sur des images aériennes et satellitaires.
- l'identification des classes d'objets au sol par leur texture.

Notre travail a été entravé par des problèmes, surtout du côté centre de calcul à cause notamment :

- du nombre important d'utilisateurs pour un petit centre de calcul.
- des pannes fréquentes et parfois prolongées du matériel.

Ils seraient intéressants de compléter notre travail pour pouvoir étudier une image multispectrale complète et cela en ajoutant aux paramètres spectraux les paramètres texturaux de l'image suivis d'une classification multi-dimensionnelle, afin d'aboutir à un résultat très efficace en traitement numérique d'images.

- B I B L I O G R A P H I E -

A.COUZY

"LA TELEDETECTION"

EDITION Que sais-je?

1981

J.DESACHY

"CONTRIBUTION A L'ETUDE DE LA TEXTURE EN
TELEDETECTION"

1980

M.ATEIA ABD EL-FATAH SHAHIN

"TRAITEMENT D'IMAGES RADAR EN VUE DE L'ETUDE DE SURFACES
AGRICOLE ET FORESTIERES PAR TELEDETECTION"

1980

M.JACQUES QUACH

"UTILISATION DE TRANSFORMATIONS LOCALES POUR L'ETUDE DE
LA TEXTURE DES IMAGES DE TELEDETECTION"

1979

M.TILIKETE, M.BELKACEMI

"CONCEPTION ET REALISATION D'UN LOGICIEL POUR
TRAITEMENT ET MANIPULATION D'IMAGES SPATIALES"

Janvier82

M.DREYFUS

"FORTRAN IV"

edition DUNOD

1968

P.CASSIRAME

"METHODES DE CLASSIFICATION DES DONNEES MULTIDIMENSIONNELLES
EN TELEDETECTION. APPLICATION A LA CARTOGRAPHIE D'UNE
REGION AGRICOLE (CAMARQUE)"

1977

J.M.ROMEDER

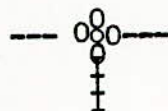
"METHODES ET PROGRAMMES D'ANALYSE DISCRIMINANTE"

edition DUNOD

1973

A A A A A A A A A A A A N N N N N N N E E E E E E X X X X E E E E E E

A
N
E
X X



P R O G R A M M E S

U T I L I S E S

D A N S

C E T T E

M E M O I R E

1.

I- Gradient simple

II- Gradient amélioré

III- Filtrage et lissage des lignes de contours
après l'opération gradient amélioré

2.

IV-les quatre etapes de la méthode de ROSENFELD et AL

3.

V-Les transformations locales:

-Moyenne

-Ecart à la moyenne

-Contraste

-Ecart type

-Gradient amélioré

-Contraste du gradient amélioré

-Sortie d'histogramme

-Classification et sortie d'image

P R O G R A M M E S

C O N C E R N A N T

L E S

A L G O R I T H M E S

S I M P L E S D E

G R A D I E N T S I M P L E

E T

G R A D I E N T A M E L I O R E

```

C PROGRAMME DE GRADIENT SIMPLE
C DONNANT L'IMAGE CODEE APRES SEUILAGE
C DIMENSION MAT(30,60),MA(30,60),MT(30,60)
C DATA IBLANC,TPLINT/1H,1H/
C READ(105,100)((MAT(I,J),J=1,60),I=1,30)
C READ(105,101)(A,M)
IA=-1
IP=-1
DO 40 T=1,IA
DO 50 J=1,IP
MA(I,J)=TABS(MAT(I,J)-MAT(T+1,J+1))+TABS(MAT(I,J+1)-MAT(T+1,J+1))
CONTINUE
MA(J,J)=MA(I,J+1)
CONTINUE
DO 55 J=1,M
MA(M,J)=MA(IA,J)
CONTINUE
DO 60 I=1,N
DO 70 J=1,M
IF(MA(I,J).GE.8) GO TO 6
MT(I,J)=TBLANC
GOTO 70
60 MT(I,J)=TBLINS
CONTINUE
CONTINUE
PRINT 200
200 PRINT 190,((MAT(I,J),J=1,M),I=1,N)
PRINT 165
PRINT 166
PRINT 160
PRINT 161
PRINT 150,((MA(K,L),L=1,M),K=1,N)
PRINT 160
PRINT 162
PRINT 170,((MT(I,J),J=1,M),I=1,N)
100 FORMAT(40I2)
101 FORMAT(2I2)
150 FORMAT(4X,6GT2)
160 FORMAT(1H-1)
161 FORMAT(10X,'IMAGE GRADIENT SIMPLE',////)
162 FORMAT(15X,'IMAGE CODEE PAR DES BLANCS ET DES POINTS',////)
163 FORMAT(1X,////)
164 FORMAT(100X,'IMAGE DIGITALISEE')
170 FORMAT(5X,6GA1)
180 FORMAT(4X,6GT2)
200 FORMAT(10X,'MATRICE DE DONNEES',////)
STOP
END

```

PROGRAMME DU GRADIENT AMELIORE

IMAGE CODEE APRES SEUILAGE

```

DIMENSION MAT(30,60),MA(30,60),MT(30,60)
DATA IBLANC,IFCINT/1H,1F/
READ(105,100)((MAT(I,J),J=1,60),I=1,30)
READ(105,101)(N,M)
IA=N-3
IB=N-3
DO40 I=1,IA
DO50 J=1,JE
JC=IARS(MAT(I+1,J+1)-MAT(I+2,J+2))+IARS(MAT(I+2,J+1)-MAT(I+1,J+2))
ID=IARS(MAT(I,J)-MAT(I+3,J+3))+IARS(MAT(I+3,J)-MAT(I,J+3))
IW=IARS(MAT(I,J+1)-MAT(I+3,J+2))+IARS(MAT(I+2,J)-MAT(I+1,J+3))
IZ=IARS(MAT(I,J+2)-MAT(I+3,J+1))+IARS(MAT(I+1,J)-MAT(I+2,J+2))
IM1=SGRT(IC*ID)
IM2=SGRT(IW*IZ)
IM3=SGRT(IM1)
IM4=SGRT(IM2)
MA(I,J)=IM3*IM4
CONTINUE
CONTINUE
DO41 I=1,29
DO51 J=58,59
MA(I,J)=IARS(MAT(I,J)-MAT(I+1,J+1))+IARS(MAT(I,J+1)-MAT(I+1,J))
CONTINUE
MA(I,J)=MA(I,J-1)
CONTINUE
DO42 I=28,29
DO52 J=1,67
MA(I,J)=IARS(MAT(I,J)-MAT(I+1,J+1))+IARS(MAT(I,J+1)-MAT(I+1,J))
CONTINUE
CONTINUE
DO53 J=1,60
MA(30,J)=MA(29,J)
CONTINUE
DO 60 I=1,30
DO 70 J=1,60
IF(MA(I,J).GE.9)GO TO 5
NT(I,J)=IBLANC
GOTO 70
NT(I,J)=IFCINT
CONTINUE
CONTINUE
PRINT 200
PRINT 190,((MAT(I,J),J=1,60),I=1,30)
PRINT 162
PRINT 166
PRINT 160
PRINT 161
PRINT 150,((MA(K,L),L=1,60),K=1,30)
PRINT 160
PRINT 162
PRINT 170,((NT(I,J),J=1,60),I=1,30)
FORMAT(40I2)
FORMAT(2I3)
FORMAT(4X,60I2)
FORMAT(10X,'IMAGE GRADIENT AMELIORE',////)
FORMAT(15X,'IMAGE CODEE PAR DES BLANCS ET DES POINTS',////)
FORMAT(1X,////)
FORMAT(100X,'IMAGE DIGITALISEE')
FORMAT(5X,60A1)
FORMAT(4X,60I2)
FORMAT(10X,'MATRICE DE DONNEES',////)
PRINT 160
FORMAT(1F1)
STOP
END

```

IMAGE GRADIENT AMELIORE CODE APRES FILTRAGE ET LISSAGE

3

```
DIMENSION MAT(30,60),MR(30,60),MA(32,62),MN(32,62),M(32,62)
DATA TBLANC, INCINS/1H ,1H-/ 
READ(105,100) ((MAT(I,J),J=1,60),I=1,30)
READ(105,101)(N,L)
PRINT 170
PRINT 120
PRINT 130
PRINT 110, ((MAT(I,J),J=1,60),I=1,30)
CALL GRAFAC(MAT,MR,N,L)
CALL IPTM(M)
CALL TRANS(MR,MA)
CALL ILTSS(MA,MN)
CALL JCCD(MN,M)
100 FORMAT(40I2)
101 FORMAT(2T3)
170 FORMAT(1H1)
110 FORMAT(4X,60I2)
120 FORMAT(4X,'DETECTION DE CONTOURS',///)
130 FORMAT(50X,'MATRICE DE DONNEES',///)
STOP
END
```

```
SUBROUTINE TRANS(MR,MA)
DIMENSION MR(30,60),MA(32,62)
D060 I=1,32
D070 J=1,62
MA(I,J)=0
CONTINUE
CONTINUE
K=0
D050 I=2,31
K=K+1
L=0
D051 J=2,61
L=L+1
MA(I,J)=MR(K,L)
CONTINUE
PRINT 170
PRINT 200
PRINT 120, ((MA(I,J),J=1,62),I=1,32)
FORMAT(1H1)
FORMAT(50X,'IMAGE TRANSFORMEE',///)
FORMAT(4X,62I1)
RETURN
END
```

```
SUBROUTINE JCCD(MN,M)
DIMENSION M(32,62),N(32,62)
DATA TBLANC, INCINS/1H ,1H-
D010 I=1,32
D020 J=1,62
M(I,J)=TBLANC
CONTINUE
CONTINUE
D082 I=1,32
D092 J=1,62
IF ((N(I,J).EQ.0)) GOTO 96
M(I,J)=INCINS
GOTO 92
86   M(I,J)=TBLANC
CONTINUE
CONTINUE
PRINT 170
PRINT 200
PRINT 180, ((N(I,J),J=1,62),I=1,32)
FORMAT(1H1)
FORMAT(50X,'IMAGE CODEE AVEC DES BLANCS ET DES TRES',///)
FORMAT(4X,62A1)
RETURN
END
```

```

SJ-BEUTTEN GEAD(MAT, NR, N1)
DIMENSION MAT(30,60), NR(72,60)
TA=1,72
TB=1,72
DO 50 J=1,72
TC=TA*S(MAT(T+1,J+1)-MAT(T+2,J+2))+TARS(MAT(T+2,J+1)-MAT(T+1,J+2))
TD=TA*S(MAT(T,J)-MAT(T+2,J+3))+TARS(MAT(T+2,J)-MAT(T,J+2))
TE=TA*S(MAT(T,J+1)-MAT(T+2,J+2))+TARS(MAT(T+2,J))-MAT(T,J+2))
TZ=TA*S(MAT(T,J+2)-MAT(T+2,J+1))+TARS(MAT(T+1,J))-MAT(T+2,J+1))
SP(1,J)=TC*TB+TA*TZ1**((C,25))
CONTINUE
CONTINUE
DO 40 TE=1,72
DO 51 TB=1,72
UD(1,J)=TARS(MAT(T,J))-MAT(T+1,J+1))+TARS(MAT(T,J+1))-MAT(T+1,J+2)
CONTINUE
UD(1,J)=INT(UD(1,J))
CONTINUE
DI(42)TE=2,72
DO 52 TB=1,72
UF(1,J)=TARS(MAT(T,J))-MAT(T+1,J+1))+TARS(MAT(T,J+1))-MAT(T+1,J+2)
CONTINUE
CONTINUE
DO 53 TB=1,72
UF(20,J)=UF(20,J)
CONTINUE
PRTI T170
PRTI T150
PRTI T110, ((R(T,J), J=1,60), I=1,30)
FORMAT(1E11)
FORMAT(F0X, 'TRACE GEAD TENT AMPLITUDE', //)
FORMAT(F0X, 60T2)
RETUR
END

```

```

SUBROUTINE TRTA(MED)
DIMENSION RE(30,60)
DO 120 L=1,30,5
DO 121 J=1,60,5
NO=
K=0
NM=0
N=0
122 NM=N+1
L=0
123 M=L+1
NO=N+1
TF(L,F0,4)GOTC122
L=L+1
GOTC123
TF(K,F0,4)GOTC125
K=K+1
GOTC124
M=L/25
NM=NM+1
N=N+1
125 NM=T+M
L=0
126 M=L+1
TF(L,F0,4)GOTC128
AN((L,M))=0
GOTC128
127 NM=(L,M)=1
TF(L,F0,4)GOTC131
L=L+1
GOTC130
128 TF(L,F0,4)GOTC121
K=K+1
GOTC132
129 CONTINUE
130 CONTINUE
PRTI T170
PRTI T200
PRTI T110, ((R(T,J), J=1,60), T=1,30)
FORMAT(1E11)
FORMAT(F0X, 'TRACE ETLTREE', //)
FORMAT(F0X, 60T1)
RETUR
END

```

```

SUBROUTINE ITISS(MA,MN)
DIMENSION MA(32,62),MN(32,62)
DO81 I=2,31
DO81 J=2,61
IF(MA(I,J).EQ.0)GOTO1
IF(MA(I-1,J-1).EQ.0)GOTO26
IF(MA(I-1,J).EQ.0)GOTO19
IF(MA(I-1,J+1).EQ.0)GOTO10
IF(MA(I,J-1).EQ.0)GOTO4
IF(MA(I,J+1).EQ.0)GOTO3
IF(MA(I+1,J-1).EQ.0)GOTO1
IF(MA(I+1,J+1).EQ.0)GOTO1
M1(I,J)=1
GOTOC1
IF(MA(I,J+1).EQ.0)GOTO6
IF(MA(I+1,J-1).EQ.0)GOTO1
M1(I,J)=1
GOTOC1
IF(MA(I+1,J-1).EQ.0)GOTO7
M1(I,J)=1
GOTOC1
IF(MA(I+1,J).EQ.0)GOTO8
M1(I,J)=1
GOTOC1
IF(MA(I+1,J+1).EQ.0)GOTO1
M1(I,J)=1
GOTOC1
IF(MA(I,J-1).EQ.0)GOTO16
IF(MA(I,J+1).EQ.0)GOTO13
IF(MA(I+1,J-1).EQ.0)GOTO1
IF(MA(I+1,J).EQ.0)GOTO11
M1(I,J)=0
GOTOC1
IF(MA(I+1,J+1).EQ.0)GOTO1
M1(I,J)=1
GOTOC1
IF(MA(I+1,J).EQ.0)GOTO14
M1(I,J)=0
GOTOC1
IF(MA(I+1,J+1).EQ.0)GOTO1
M1(I,J)=1
GOTOC1
IF(MA(I,J+1).EQ.0)GOTO21
IF(MA(I+1,J-1).EQ.0)GOTO1
M1(I,J)=1
GOTOC1
IF(MA(I-1,J+1).EQ.0)GOTO20
M1(I,J)=1
GOTOC1
IF(MA(I,J-1).EQ.0)GOTO21
IF(MA(I,J+1).EQ.0)GOTO22
IF(MA(I+1,J).EQ.0)GOTO21
M1(I,J)=0
GOTOC1
IF(MA(I+1,J).EQ.0)GOTO23
M1(I,J)=0
GOTOC1
IF(MA(I+1,J+1).EQ.0)GOTO1
M1(I,J)=1
GOTOC1
IF(MA(I-1,J).EQ.0)GOTO50
IF(MA(I-1,J+1).EQ.0)GOTO39
IF(MA(I,J-1).EQ.0)GOTO32
IF(MA(I,J+1).EQ.0)GOTO30
IF(MA(I+1,J-1).EQ.0)GOTO1
IF(MA(I+1,J).EQ.0)GOTO27
M1(I,J)=0
GOTOC1
IF(MA(I+1,J+1).EQ.0)GOTO1
M1(I,J)=1
GOTOC1
IF(MA(I+1,J+1).EQ.0)GOTO1
M1(I,J)=1
GOTOC1

```

```

32 IF(UMA(I,J+1).EQ.0)GOT035
IF(UMA(I+1,J-1).EQ.0)GOT01
IF(UMA(I+1,J).EQ.0)GOT021
NN(I,J)=0
GOT061
35 IF(UMA(I+1,J-1).EQ.0)GOT036
NN(I,J)=1
GOT091
36 IF(UMA(I+1,J).EQ.0)GOT037
NN(I,J)=1
GOT091
37 IF(UMA(I+1,J+1).EQ.0)GOT01
NN(I,J)=1
GOT091
39 IF(UMA(I,J-1).EQ.0)GOT046
IF(UMA(I,J+1).EQ.0)GOT043
IF(UMA(I+1,J-1).EQ.0)GOT01
IF(UMA(I+1,J).EQ.0)GOT040
NN(I,J)=0
GOT061
40 IF(UMA(I+1,J+1).EQ.0)GOT01
NN(I,J)=1
GOT061
43 IF(UMA(I+1,J).EQ.0)GOT044
NN(I,J)=0
GOT091
44 IF(UMA(I+1,J+1).EQ.0)GOT01
NN(I,J)=1
GOT061
46 IF(UMA(J,J+1).EQ.0) GO TO 21
IF(UMA(J+1,J-1).EQ.0) GO TO 1
IF(UMA(J+1,J).EQ.0) GO TO 21
NN(J,J)=0
GOT091
50 IF(UMA(I-1,J+1).EQ.0) GO TO 59
IF(UMA(I,J-1).EQ.0) GO TO 52
IF(UMA(I,J+1).EQ.0) GO TO 21
IF(UMA(J+1,J).EQ.0) GO TO 21
NN(I,J)=0
GOT061
53 IF(UMA(I,J+1).EQ.0) GO TO 21
IF(UMA(I+1,J-1).EQ.0) GO TO 55
IF(UMA(J+1,J).EQ.0) GO TO 21
NN(I,J)=0
GOT091
55 IF(UMA(I+1,J).EQ.0) GO TO 56
NN(I,J)=0
GOT091
56 IF(UMA(J+1,J+1).EQ.0) GO TO 21
NN(I,J)=0
GOT091
59 IF(UMA(I,J-1).EQ.0) GO TO 67
IF(UMA(I,J+1).EQ.0) GO TO 63
IF(UMA(I+1,J-1).EQ.0) GO TO 61
IF(UMA(J+1,J).EQ.0) GO TO 21
NN(I,J)=0
GOT061
61 IF(UMA(I+1,J).EQ.0) GO TO 21
NN(I,J)=0
GOT091
62 IF(UMA(I+1,J-1).EQ.0) GO TO 65
IF(UMA(I+1,J).EQ.0) GO TO 21
NN(I,J)=0
GOT061
65 IF(UMA(I+1,J).EQ.0) GO TO 21
NN(I,J)=0
GOT091
67 IF(UMA(I,J+1).EQ.0) GO TO 72
IF(UMA(I+1,J-1).EQ.0) GO TO 69
IF(UMA(I+1,J).EQ.0) GO TO 21
NN(I,J)=0
GOT091

```

```
69 IF(IA(I+1,J).EQ.0) GO TO 70
    M(I,J)=0
    GOTOC1
70 IF(IA(I+1,J+1).EQ.0) GO TO 21
    M(I,J)=0
    GOTOC1
71 IF(IA(I+1,J+1).EQ.0) GO TO 21
    IF(IA(I+1,J).EQ.0) GO TO 21
    M(I,J)=0
    GOTOC1
1 M(I,J)=0
    GOTOC1
21 M(I,J)=1
    CONTINUE
81 CONTINUE
    PRINT170
    END170
    EETAT120,((IN(I,J),J=1,62),I=1,32)
    FORMAT(1F1)
    FORMAT(50X,'PAGE LTSSEE',//)
    FORMAT(4X,621)
    RETIRE
    END
```

P R O G R A M M E S

C O N C E R N A N T

L A M E T H O D E

D E

R O S E N F E L D

E T

A L

1^{ère} PARTIE DU PROGRAMME DE LA MÉTHODE DE ROSENKELD ET AL

8

```

DEFINE FILE 4=BD(R:256,G:1,RW,RN,FT)
DEFINE FILE 5=CD(R:256,G:1,RW,RN,FT)
INTEGER V(128),V1(128),V2(128),V3(128),V4(128)
INTEGER V5(128),V6(128),V7(128),V8(128),V9(128)
DIMENSION LVECT(128),IG(128),IT(128)
L=5000
I7=1
5 K=0
JK=0
DO 51 T=6208,6816,4
READ(4,I)(LVECT(I),J=1,128)
J=0
DO52LL=1,128
J=J+1
52 V(LL)=LVECT(J)
IF(IK.GT.1) GO TO 6
K=K+1
CALL INITIA(K,V,V1,V2,V3,V4,V5,V6,V7,V8)
IF(I7.EQ.1) GO TO 1
IF(I7.EQ.2) GO TO 2
IF(I7.EQ.3) GO TO 3
1 IF(K.LT.2) GO TO 51
CALL MCY1(V1,V2,TG,L)
GO TO 9
6 IF(I7.EQ.1) GO TO 11
IF(I7.EQ.2) GO TO 12
IF(I7.EQ.3) GO TO 13
9 JK=JK+1
DO14J=1,128
14 V1(J)=V2(J)
GO TO 51
11 DO15J=1,128
15 V2(J)=V(J)
CALL MCY1(V1,V2,TG,L)
GO TO 9
2 IF(K.LT.4) GO TO 51
CALL MCY2(V1,V2,V3,V4,TG,L)
19 IK=IK+1
DO16J=1,128
16 V1(J)=V2(J)
V2(J)=V3(J)
V3(J)=V4(J)
GO TO 51
22 DO17J=1,128
17 V4(J)=V(J)
CALL MCY2(V1,V2,V3,V4,TG,L)
GO TO 19
3 IF(K.LT.8) GO TO 51
CALL MCY3(V1,V2,V3,V4,V5,V6,V7,V8,TG,L)
29 IK=IK+1
DO18J=1,128
18 V1(J)=V2(J)
V2(J)=V3(J)
V3(J)=V4(J)
V4(J)=V5(J)
V5(J)=V6(J)
V6(J)=V7(J)
V7(J)=V8(J)
GO TO 51
37 DO20J=1,128
20 V8(J)=V(J)
CALL MCY3(V1,V2,V3,V4,V5,V6,V7,V8,IG,L)
GO TO 29
51 CONTINUE
IF(I7.GT.1) GO TO 99
DO88J=1,128
88 IG(J)=0
CALL RANG1(IG,L)
CALL RANG1(IG,L)
I7=I7+1
GO TO 5
99 IF(I7.EQ.2) GO TO 90
DO89J=1,128
89 IG(J)=0

```

```

CALL RANG1(IG,L)
CALL RANG1(IG,L)
CALL RANG1(IG,L)
CALL RANG1(IG,L)
CALL RANG1(IG,L)
J7=I7+1
GO TO 5
90 DO 91 J=1,128
91 IG(J)=0
CALL RANG1(IG,L)
CALL RANG1(IG,L)
CALL RANG1(IG,L)
STOP
END .

```

```

SUBROUTINE INITIA(K,V,V1,V2,V3,V4,V5,V6,V7,V8)
INTEGER V(1)
INTEGER V1(1),V2(1),V3(1),V4(1)
INTEGER V5(1),V6(1),V7(1),V8(1)
IF(K.EQ.1) GO TO 10
IF(K.EQ.2) GO TO 11
IF(K.EQ.3) GO TO 12
IF(K.EQ.4) GO TO 13
IF(K.EQ.5) GO TO 14
IF(K.EQ.6) GO TO 15
IF(K.EQ.7) GO TO 16
IF(K.EQ.8) GO TO 17
10 DO 51 J=1,128
51 V1(J)=V(J)
GO TO 8
11 DO 52 J=1,128
52 V2(J)=V(J)
GO TO 8
12 DO 53 J=1,128
53 V3(J)=V(J)
GO TO 8
13 DO 54 J=1,128
54 V4(J)=V(J)
GO TO 8
14 DO 55 J=1,128
55 V5(J)=V(J)
GO TO 8
15 DO 56 J=1,128
56 V6(J)=V(J)
GO TO 8
16 DO 57 J=1,128
57 V7(J)=V(J)
GO TO 8
17 DO 58 J=1,128
58 V8(J)=V(J)
8 RETURN
END

```

```

SUBROUTINE FOY1(V1,V2,IG,L)
INTEGER V1(1),V2(1)
DIMENSION IG(1)
DO 10 J=2,128
M1=V1(J-1)+V1(J)+V2(J-1)+V2(J)
IG(J)=TEIX(M1/4)
10 CONTINUE
IG(1)=IG(2)
CALL RANG1(IG,L)
IF(L.GT.6002) GO TO 4
CALL RANG1(IG,L)
4 RETURN
END

```

```

SUBROUTINE NOY2(V1,V2,V3,V4,IG,L)
INTEGER V1(1),V2(1),V3(1),V4(1)
DIMENSION IG(1)
DO 10 J=3,127
M2=0
M2=M2+V1(J-2)+V1(J-1)+V1(J)+V1(J+1)
M2=M2+V2(J-2)+V2(J-1)+V2(J)+V2(J+1)
M2=M2+V3(J-2)+V3(J-1)+V3(J)+V3(J+1)
M2=M2+V4(J-2)+V4(J-1)+V4(J)+V4(J+1)
IG(J)=IFIX(M2/16)
10 CONTINUE
IG(1)=0
IG(2)=0
IG(128)=0
CALL RANG1(IG,L)
RETURN
END

```

```

SUBROUTINE NOY3(V1,V2,V3,V4,V5,V6,V7,V8,IG,L)
INTEGER V1(1),V2(1),V3(1),V4(1)
INTEGER V5(1),V6(1),V7(1),V8(1)
DIMENSION IG(1)
DO 10 J=5,125
M3=0
M3=M3+V1(J-4)+V1(J-3)+V1(J-2)+V1(J-1)
M3=M3+V1(J)+V1(J+1)+V1(J+2)+V1(J+3)
M3=M3+V2(J-4)+V2(J-3)+V2(J-2)+V2(J-1)
M3=M3+V2(J)+V2(J+1)+V2(J+2)+V2(J+3)
M3=M3+V3(J-4)+V3(J-3)+V3(J-2)+V3(J-1)
M3=M3+V3(J)+V3(J+1)+V3(J+2)+V3(J+3)
M3=M3+V4(J-4)+V4(J-3)+V4(J-2)+V4(J-1)
M3=M3+V4(J)+V4(J+1)+V4(J+2)+V4(J+3)
M3=M3+V5(J-4)+V5(J-3)+V5(J-2)+V5(J-1)
M3=M3+V5(J)+V5(J+1)+V5(J+2)+V5(J+3)
M3=M3+V6(J-4)+V6(J-3)+V6(J-2)+V6(J-1)
M3=M3+V6(J)+V6(J+1)+V6(J+2)+V6(J+3)
M3=M3+V7(J-4)+V7(J-3)+V7(J-2)+V7(J-1)
M3=M3+V7(J)+V7(J+1)+V7(J+2)+V7(J+3)
M3=M3+V8(J-4)+V8(J-3)+V8(J-2)+V8(J-1)
M3=M3+V8(J)+V8(J+1)+V8(J+2)+V8(J+3)
IG(J)=IFIX(M3/64)
10 CONTINUE
DO 11 J=1,4
IG(J)=0
11 DO 12 J=126,128
IG(J)=0
12 CALL RANG1(IG,L)
RETURN
END

```

```

SUBROUTINE RANG1(IG,L)
DIMENSION IG(1)
WRITE(5'L)(IG(J),J=1,128)
L=L+1
RETURN
END

```

2^{ème} PARTIE DU PROGRAMME DE LA MÉTHODE DE ROSENFIELD ET AL.

```

DEFINE FILE S=CD(R:256,G:1,RW,RN,FI)
INTEGER V(128),V1(128),V2(128),V3(128),V4(128),V5(128)
INTEGER V6(128),V7(128),V8(128),V9(128)
DIMENSION IG(128),LVECT(128),IT(128)
L=5384
K=0
IK=0
DO 51 I=5000,5127
READ(5,I)(LVECT(J),J=1,128)
J=0
DO 52 LL=1,128
J=J+1
52 V(LL)=LVECT(J)
IF(IK.GE.1) GO TO 6
K=K+1
CALL CLASS1(K,V,V1,V2,V3)
IF(K.LT.3) GO TO 51
DO 10 J=2,127
10 IG(J)=IABS(V1(J+1)-V1(J-1))
IG(1)=0
IG(128)=0
CALL RANG1(IG,L)
DO 20 J=2,127
20 IT(J)=1
IT(1)=0
IT(128)=0
CALL RANG2(IT,L)
CALL DIF1(V1,V2,V3,IT,IG,L)
9 IK=IK+1
CALL SUIT1(V1,V2,V3)
GO TO 51
6 DO 14 J=1,128
14 V3(J)=V(J)
CALL DTF1(V1,V2,V3,IT,IG,L)
GO TO 9
51 CONTINUE
60 DO 60 J=2,127
60 IG(J)=IABS(V3(J+1)-V3(J-1))
IG(1)=0
IG(128)=0
DO 70 J=2,127
70 IT(J)=1
IT(1)=0
IT(128)=0
CALL RANG1(IG,L)
CALL RANG2(IT,L)
CALL PROG2(V,V1,V2,V3,V4,V5,IG,IT,LVECT,L)
CALL PROG3(V,V1,V2,V3,V4,V5,V6,V7,V8,V9,IG,IT,LVECT,L)
CALL VERIF(LVECT,IG)
STOP
END

```

```

SUBROUTINE CLASS1(K,V1,V2,V3,V)
INTEGER V(1),V1(1),V2(1),V3(1)
IF(K.EQ.1) GO TO 10
IF(K.EQ.2) GO TO 12
IF(K.EQ.3) GO TO 14
10 D051J=1,128
51 V1(J)=V(J)
GO TO 8
12 D052J=1,128
52 V2(J)=V(J)
GO TO 8
14 D053J=1,128
53 V3(J)=V(J)
8 RETURN
END

```

```

SUBROUTINE DJF1(V1,V2,V3,IG,IT,L)
INTEGER V1(1),V2(1),V3(1)
DIMENSION IG(1),IT(1)
DO 10 J=2,127
IH=IABS(V2(J+1)-V2(J-1))
ID1=IABS(V1(J+1)-V3(J-1))
IV=IABS(V1(J)-V3(J))
ID2=IABS(V1(J-1)-V2(J+1))
IG(J)=MAX0(IH, ID1, IV, ID2)
IF(IG(J).EQ.IH) GO TO 1
IF(IG(J).EQ.ID1) GO TO 2
IF(IG(J).EQ.IV) GO TO 3
IF(IG(J).EQ.ID2) GO TO 4
1 IT(J)=1
GO TO 10
2 IT(J)=2
GO TO 10
3 IT(J)=3
GO TO 10
4 IT(J)=4
CONTINUE
IG(1)=IABS(V1(1)-V3(1))
IG(128)=IABS(V1(128)-V3(128))
IT(1)=3
IT(128)=3
CALL RANG1(IG,L)
CALL RANG2(IT,L)
RETURN
END

```

```

SUBROUTINE SUIT1(V1,V2,V3)
INTEGER V1(1),V2(1),V3(1)
DO 30 J=1,128
V1(J)=V2(J)
V2(J)=V3(J)
RETURN
END

```

```

SUBROUTINE RANG1(IG,L)
DIMENSION IG(1)
WRITE(5'L)(IG(J),J=1,128)
L=L+1
RETURN
END

```

```

SUBROUTINE RANG2(IT,L)
DIMENSION IT(1)
WRITE(5'L)(IT(J),J=1,128)
L=L+1
RETURN
END

```

```

SUBROUTINE RANG3(IR,L)
DIMENSION IR(1)
WRITE(5'L)(IR(J),J=1,128)
L=L+1
RETURN
END

```

```

SUBROUTINE SUIT2(V1,V2,V3,V4,V5)
INTEGER V1(1),V2(1),V3(1),V4(1),V5(1)
DO 30 J=1,128
V1(J)=V2(J)
V2(J)=V3(J)
V3(J)=V4(J)
V4(J)=V5(J)
RETURN
END

```

```

SUBROUTINE PROGP(V,V1,V2,V3,V4,V5,IG,IT,LVFACT,L)
INTEGER V(1),V2(1),V3(1),V4(1),V5(1)
DIMENSION IG(1),IT(1),LVFACT(1)
K=0
JK=0
DO10 J=1,128
  IG(J)=0
10   IT(J)=0
    CALL RANG1(IG,L)
    CALL RANG2(IT,L)
    READ(5'I)(LVFACT(J),J=1,128)
    J=0
    DO 52 LL=1,128
    J=J+1
52   V(LL)=LVFACT(J)
    IF(JK.GE.1) GO TO 6
    K=K+1
    CALL CLASS2(K,V,V1,V2,V3,V4,V5)
    IF(K.LT.5) GO TO 51
    CALL DIF2(V1,V2,V3,V4,V5,IG,IT,L)
9     JK=JK+1
    CALL SUIT2(V1,V2,V3,V4,V5)
    GOTO51
6     DO 14 J=1,128
14   V5(J)=V(J)
    CALL DIF2(V1,V2,V3,V4,V5,IG,IT,L)
    GO TO 9
51   CONTINUE
    DO60 J=1,128
    IG(J)=0
60   IT(J)=0
    CALL RANG1(IG,L)
    CALL RANG2(IT,L)
    CALL RANG1(IG,L)
    CALL RANG2(IT,L)
    CALL RANG1(IG,L)
    CALL RANG2(IT,L)
    RETURN
END

```

```

SUBROUTINE CLASS2(K,V,V1,V2,V3,V4,V5)
INTEGER V1(1),V2(1),V3(1),V4(1),V5(1)
INTEGER V(1)
IF(K.EQ.1) GO TO 10
IF(K.EQ.2) GO TO 12
IF(K.EQ.3) GO TO 14
IF(K.EQ.4) GOTO16
IF(K.EQ.5) GOTO18
10  DO 51 J=1,128
51   V1(J)=V(J)
    GO TO 8
12  DO 52 J=1,128
52   V2(J)=V(J)
    GO TO 8
14  DO 53 J=1,128
53   V3(J)=V(J)
    GO TO 8
16  DO 54 J=1,128
54   V4(J)=V(J)
    GO TO 8
18  DO 55 J=1,128
55   V5(J)=V(J)
    RETURN
END

```

```

SUBROUTINE DIF2(V1,V2,V3,V4,V5,IG,IT,L)
INTEGER V1(1),V2(1),V3(1),V4(1),V5(1)
DIMENSION IG(1),IT(1)
DO10 J=5,125
IH=IABS(V3(J+2)-V3(J-2))
ID1=IABS(V1(J+2)-V5(J-2))
IV=IABS(V1(J)-V5(J))
ID2=IABS(V1(J-2)-V5(J+2))
IG(J)=MAX0(IH,ID1,IV, ID2)
IF(IG(J).EQ.IH) GO TO 1
IF(IG(J).EQ.ID1) GO TO 2
IF(IG(J).EQ.IV) GOTC3
IF(IG(J).EQ.ID2) GO TO 4
1 IT(J)=1
GO TO 10
2 IT(J)=2
GO TO 10
3 IT(J)=3
GO TO 10
4 IT(J)=4
GO TO 10
10 CONTINUE
DO40 J=1,4
IG(J)=0
IT(J)=0
40 DO 50 J=126,128
IG(J)=0
IT(J)=0
CALL RANG1(IG,L)
CALL RANG2(IT,L)
RETURN
END

```

```

SUBROUTINE DIF3(V1,V2,V3,V4,V5,V6,V7,V8,V9,IG,IT,L)
INTEGER V1(1),V2(1),V3(1),V4(1),V5(1),
         V6(1),V7(1),V8(1),V9(1)
DIMENSION IG(1),IT(1)
DO10 J=2,127
IH=IABS(V5(J+1)-V5(J-1))
ID1=IABS(V1(J+1)-V9(J-1))
IV=IABS(V1(J)-V9(J))
ID2=IABS(V1(J-1)-V9(J+1))
IG(J)=MAX0(IH, ID1, IV, ID2)
IF(IG(J).EQ.IH) GOTC1
IF(IG(J).EQ.ID1) GOTC2
IF(IG(J).EQ.IV) GOTC3
IF(IG(J).EQ.ID2) GOTC4
1 IT(J)=1
GO TO 10
2 IT(J)=2
GO TO 10
3 IT(J)=3
GO TO 10
4 IT(J)=4
10 CONTINUE
DO20 J=1,8
IG(J)=0
IT(J)=0
20 DO 30 J=122,128
IG(J)=0
IT(J)=0
30 CALL RANG1(IG,L)
CALL RANG2(IT,L)
RETURN
END

```

```

SUBROUTINE CLASS3(K,V,V1,V2,V3,V4,V5,V6,V7,V8,V9)
INTEGER V1(1),V2(1),V3(1),V4(1),V5(1)
INTEGER V6(1),V7(1),V8(1),V9(1)
INTEGER V(J)
IF(K.EQ.1) GO TO 10
IF(K.EQ.2) GO TO 12
IF(K.EQ.3) GO TO 14
IF(K.EQ.4) GO TO 16
IF(K.EQ.5) GO TO 18
IF(K.EQ.6) GO TO 20
IF(K.EQ.7) GO TO 22
IF(K.EQ.8) GO TO 24
IF(K.EQ.9) GO TO 26
10 DO 51 J=1,12P
51 V1(J)=V(J)
GO TO 8
12 DO 52 J=1,12P
52 V2(J)=V(J)
GO TO 8
14 DO 53 J=1,12P
53 V3(J)=V(J)
GO TO 8
16 DO 54 J=1,12P
54 V4(J)=V(J)
GO TO 8
18 DO 55 J=1,12P
55 V5(J)=V(J)
GO TO 8
20 DO 56 J=1,12P
56 V6(J)=V(J)
GO TO 8
22 DO 57 J=1,12P
57 V7(J)=V(J)
GO TO 8
24 DO 58 J=1,12P
58 V8(J)=V(J)
GO TO 8
26 DO 59 J=1,12P
59 V9(J)=V(J)
RETURN
END

```

```

SUBROUTINE SUIT3(V1,V2,V3,V4,V5,V6,V7,V8,V9)
INTEGER V1(1),V2(1),V3(1),V4(1),V5(1)
INTEGER V6(1),V7(1),V8(1),V9(1)
DO 1P J=1,12P
V1(J)=V2(J)
V2(J)=V3(J)
V3(J)=V4(J)
V4(J)=V5(J)
V5(J)=V6(J)
V6(J)=V7(J)
V7(J)=V8(J)
RETURN
END
}

```

151

3^{ème} PARTIE DU PROGRAMME DE LA MÉTHODE DE ROSENBLID ET AL

```

DEFINE FILE S=CD(P:256,G:1,RW,BN,FI)
DIMENSION LV1(128),LV2(128),LV3(128)
DIMENSTON LT1(128),LT2(128),LT3(128),TR(128)
DIMENSTON TG(128),TT(128)
L=6200
DU 51 T=E3P4,563R,2
N1=I+1
N=I+256
N2=I+1
K=N+256
M=N+K+1
READ(S,I)(LV1(J),J=1,128)
READ(S,I)(LV2(J),J=1,128)
READ(S,K)(LV3(J),J=1,128)
READ(S,I1)(LT1(J),J=1,128)
READ(S,I2)(LT2(J),J=1,128)
READ(S,I3)(LT3(J),J=1,128)
GO TO 40 J=1,128
IC=3*LV2(J)
ID=4*LV1(J)
IF=3*LV3(J)
IH=4*LV2(J)
IF(IF.GE.ID) GO TO 1
IF(LV3(J).GE.0) GO TO 2
IF(IF.GE.IH) GO TO 3
IG(J)=LV1(J)
IT(J)=LT1(J)
IP(J)=1
GU TO 40
3 IF(J)=LV3(J)
IT(J)=LT2(J)
IR(J)=3
GO TO 40
2 IF(J)=LV1(J)
IT(J)=LT1(J)
IP(J)=1
GU TO 40
1 IF(IF.GE.IH) GO TO 4
IG(J)=LV2(J)
IT(J)=LT2(J)
IP(J)=2
GU TO 40
4 IG(J)=LV3(J)
IT(J)=LT3(J)
IP(J)=3
40 CONTINUE
CALL RANG1(IG,L)
CALL RANG2(IT,L)
CALL RANG3(TR,L)
51 CONTINUE
STOP
END

```

```

SUBROUTINE RANG1(IG,L)
DIMENSION IG(1)
WRITE(S'L)(IG(J),J=1,128)
L=L+1
RETURN
END

```

```

SUBROUTINE RANG2(IT,L)
DIMENSION IT(1)
WRITE(S'L)(IT(J),J=1,128)
L=L+1
RETURN
END

```

```

SUBROUTINE RANG3(TR,L)
DIMENSION TR(1)
WRITE(S'L)(TR(J),J=1,128)
L=L+1
RETURN
END

```

PARTIE DU PROGRAMME DE LA METHODE DE ROSENFIELD ET AL

```

DEFINE FTLE S=CD(R:256,G:1,RW,BN,FT)
DIMENSION P1(128),P2(128),M1(128),M2(128),M3(128),M4(128),M5(128),M6(128),M7(128)
DIMENSION M8(128),M9(128),M(128),LV1(128),LV2(128),LV3(128)
DIMENSION ID2(128),ID3(128),ID4(128),ID5(128)
DIMENSION ID6(128),ID7(128),ID8(128),ID9(128),IP(128)
COMMON/TAA/ID1(128),IT(128),TD(128)
COMMON/TBA/IT1(128),IT2(128),IT3(128)
COMMON/TCA/IT4(128),IT6(128),IT7(128)
COMMON/TDA/IT8(128),IT9(128)
COMMON/TFA/IT5(128)
DIMENSION IN(128),TL(128),IM(128)
DATAIBLANC,IP0INT/1H ,1H /
N=0
IK=0
DC 51 I=2200,2581,3
L=T+1
K=L+1
READ(S:I)(LV1(J),J=1,128)
READ(S:L)(LV2(J),J=1,128)
READ(S:K)(LV3(J),J=1,128)
D052 J=1,128
M(J)=LV1(J)
ID(J)=LV2(J)
IT(J)=LV3(J)
IF(IK.EE.1) GO TO 3
N=N+1
52 CALL ORDRF(M,M1,M2,M3,M4,M5,M6,M7,M8,M9,TD2,ID3,ID4,ID5,ID6,ID7,
*ID8, ID9, N)
IF(N.LT.9) GOT051
CALL TRACE1(M1,M2,M3, ID2, IP)
CALL TRACE2(M1,M2,M3,M4,M5, ID3, IP)
CALL TRACE3(IN,M1,M2,M3,M4,M5,M6,IN,TL,IP, ID3, ID4)
CALL TRACE(M1,M2,M3,M4,M5,M6,M7,M8,M9, ID5, IP)
IK=IK+
CALL SUIT(M1,M2,M3,M4,M5,M6,M7,M8,M9, ID2, ID3, ID4, ID5, ID6, ID7, ID8
*, ID9)
GOT051
3 D043 J=1,128
M9(J)=M(J)
ID9(J)=ID(J)
IT9(J)=IT(J)
43 CALL TRACE(M1,M2,M3,M4,M5,M6,M7,M8,M9, ID5, IP)
GOT09
51 CONTINUE
CALL SUIT(M1,M2,M3,M4,M5,M6,M7,M8,M9, ID2, ID3, ID4, ID5, ID6, ID7, ID8,
*ID9)
CALL TRACE(M1,M2,M3,M4,M5,M6,M7,M8,M9, ID5, IP)
CALL SUIT(M1,M2,M3,M4,M5,M6,M7,M8,M9, ID2, ID3, ID4, ID5, ID6, ID7, ID8,
*ID9)
CALL TRACE(M1,M2,M3,M4,M5,M6,M7,M8,M9, ID5, IP)
CALL SUIT(M1,M2,M3,M4,M5,M6,M7,M8,M9, ID2, ID3, ID4, ID5, ID6, ID7, ID8,
*ID9)
CALL TRACE(M1,M2,M3,M4,M5,M6,M7,M8,M9, ID5, IP)
STOP
END

```

```

SUBROUTINE CRDRE(M,M1,M2,M3,M4,M5,M6,M7,M8,M9, ID2, ID3, ID4, ID5, ID6
*, ID7, ID8, ID9, N)
DIMENSION M(1), M2(1), M3(1), M4(1), M5(1), M6(1), M7(1), M8(1), M9(1)
DIMENSION ID2(1), ID3(1), ID4(1), ID5(1), ID6(1), ID7(1), ID8(1), ID9(1)
DIMENSION M1(1)
COMMON/TAA/ID1(128), IT(128), TD(128)
COMMON/TBA/IT1(128), IT2(128), IT3(128)
COMMON/TCA/IT4(128), IT6(128), IT7(128)
COMMON/TDA/IT8(128), IT9(128)
COMMON/TFA/IT5(128)
IF(N.EQ.1)GOTO1
IF(N.EQ.2)GOTO2
IF(N.EQ.3)GOTO3
IF(N.EQ.4)GOTO4
IF(N.EQ.5)GOTO5
IF(N.EQ.6)GOTO6
IF(N.EQ.7)GOTO7
IF(N.EQ.8)GOTO8
IF(N.EQ.9)GOTO9
1 DO10 J=1, 128
M1(J)=M(J)
10 ID1(J)=ID(J)
GO TO 100
2 DO 20 J=1, 128
M2(J)=M(J)
ID2(J)=ID(J)
20 IT2(J)=IT(J)
GO TO 100
3 DO 30 J=1, 128
M3(J)=M(J)
ID3(J)=ID(J)
30 IT3(J)=IT(J)
GO TO 100
4 DO 40 J=1, 128
M4(J)=M(J)
ID4(J)=ID(J)
40 IT4(J)=IT(J)
GO TO 100
5 DO 50 J=1, 128
M5(J)=M(J)
ID5(J)=ID(J)
50 IT5(J)=IT(J)
GO TO 100
6 DO 60 J=1, 128
M6(J)=M(J)
ID6(J)=ID(J)
60 IT6(J)=IT(J)
GO TO 100
7 DO 70 J=1, 128
M7(J)=M(J)
ID7(J)=ID(J)
70 IT7(J)=IT(J)
GO TO 100
8 DO 80 J=1, 128
M8(J)=M(J)
ID8(J)=ID(J)
80 IT8(J)=IT(J)
GO TO 100
9 DO 90 J=1, 128
M9(J)=M(J)
ID9(J)=ID(J)
90 IT9(J)=IT(J)
100 RETURN
END

```

```

SUBROUTINE TRACE1(M1,M2,M3,IP)
DIMENSION M1(1),M2(1),M3(1),TD2(1),TP(1)
DATAITPLANE,TPC1/T/1F/,1F./
DC10J=2,127
IF(ID2(J).EQ.1) GO TO 1
IF(ID2(J).EQ.2)GOTC2
IF(ID2(J).EQ.3)GOTC3
IF(M1(J+1).EQ.M2(J))GOTCP
IF(M2(J-1).EQ.M2(J))GOTCP
GOTC99
3 IF(M2(J+1).EQ.M2(J))GOTCP
IF(M2(J-1).EQ.M2(J))GOTCP
GOTC99
2 IF(I1(J-1).EQ.M2(J))GOTCP
IF(I2(J+1).EQ.M2(J))GOTCP
GOTC99
1 IF(I1(J).EQ.M2(J))GOTCP
IF(I3(J).EQ.M2(J))GOTCP
95 IP(J)=TPC1
GOTC10
98 IP(J)=ITPLANE
10 CONTINUE
140 PRINT140,(TP(J),J=1,128)
146 FORMAT(2X,12RA1)
RETURN
END

```

```

SUBROUTINE TRACE2(M1,M2,M3,M4,M5,IP)
DIMENSION M1(1),M2(1),M3(1),M4(1),M5(1),TD3(1),TP(1)
COMMON/TRA/IT1(128),IT2(128),IT3(128)
DATAITPLANE,TPC1/T/1F/,1F./
DC20J=2,127
IF(IT2(J).EQ.1)GOTC4
IF(IT2(J).EQ.2)GOTC5
IF(IT2(J).EQ.3)GOTC6
IF(IT2(J).EQ.11)GOTC7
IF(M1(J+2).EQ.M2(J))GOTCP
IF(M5(J-2).EQ.M2(J))GOTCP
GOTC99
7 IF(M2(J+1).EQ.M2(J))GOTCP
IF(M4(J-1).EQ.M2(J))GOTCP
GOTC99
6 IF(IT2(J).EQ.1)GOTC8
IF(M2(J+2).EQ.M2(J))GOTCP
IF(M3(J-2).EQ.M2(J))GOTCP
GOTC99
8 IF(M2(J-1).EQ.M2(J))GOTCP
IF(M2(J+1).EQ.M2(J))GOTCP
GOTC99
5 IF(IT2(J).EQ.1)GOTC9
IF(I1(J-2).EQ.M2(J))GOTCP
IF(M5(J+2).EQ.M2(J))GOTCP
GOTC99
9 IF(M2(J-1).EQ.M2(J))GOTCP
IF(M4(J+1).EQ.M2(J))GOTCP
GOTC99
4 IF(IT3(J).EQ.1)GOTC10
IF(M1(J).EQ.M2(J))GOTCP
1 IF(M5(J).EQ.M2(J))GOTCP
GOTC99
10 IF(I2(J).EQ.M2(J))GOTCP
IF(M4(J).EQ.M2(J))GOTCP
99 IP(J)=TPC1
GO TO 20
98 IP(J)=ITPLANE
20 CONTINUE
140 PRINT140,(TP(J),J=1,128)
146 FORMAT(2X,12RA1)
RETURN
END

```

```

SUBROUTINE TRACE3(M,M1,M2,M3,M4,M5,M6,IN,IL,IP, ID3, ID4)
DIMENSION TI(1),M1(1),M2(1),M3(1),M4(1),M5(1),M6(1),IN(1)
DIMENSION TL(1),IP(1),ID3(1),ID4(1)
COMMON/TAA/ID1(128),IT1(128),ID2(128)
COMMON/TFA/IT1(128),IT2(128),IT3(128)
COMMON/TCA/IT4(128),IT6(128),IT7(128)
COMMON/TCA/IT8(128),IT9(128)
DATA IPLAN,IPOINT/IH ,1F./
DC30J=1,12P
IN(J)=M1(J)
M1(J)=M2(J)
M2(J)=M3(J)
M3(J)=M4(J)
M4(J)=M5(J)
M5(J)=M6(J)
IN(J)=IT2(J)
IT3(J)=IT4(J)
IL(J)=ID3(J)
30 ID3(J)=ID4(J)
CALL TRACE2(M1,M2,M3,M4,M5, ID3,IP)
DO 40 J=1,12P
M6(J)=M5(J)
M5(J)=M4(J)
M4(J)=M3(J)
M3(J)=M2(J)
M2(J)=M1(J)
M1(J)=IN(J)
IT4(J)=IT3(J)
IT3(J)=IN(J)
ID4(J)=ID3(J)
ID3(J)=IL(J)
40 CONTINUE
RETURN
END

```

```

SUBROUTINE TRACE(M1,M2,M3,M4,M5,M6,M7,M8,M9,IDS,IP)
DIMENSION I1(1),I2(1),M3(1),M4(1),M5(1),M6(1),M7(1),M8(1)
DIMENSION M9(1),IDS(1),IP(1)
COMMON/TFA/ITE(128)
DATA TPLANC,IPCT1,T/1H ,1H./
DU 80 J=2,127
IF(IDS(J).EQ.1)GOTC1
IF(IDS(J).EQ.2)GOTC2
IF(IDS(J).EQ.3)GOTC3
IF(IDS(J).EQ.4)GOTC4
IF(IDS(J).EQ.5)GOTC5
IF((1(J+4).NE.15(J)))GOTC98
IF((1(J-4).NE.15(J)))GOTC98
GU TO 99
IF((1(3(J+2).NE.M5(J)))GOTC98
IF((1(7(J-2).NE.M5(J1)))GOTC98
GOTC99
4 IF((14(J+1).NE.M5(J)))GOTC98
IF((16(J+1).NE.15(J)))GOTC98
GOTC99
5 IF(ITE(J).EQ.1)GOTC6
IF(ITE(J).EQ.2)GOTC7
IF((15(J+4).NE.M5(J)))GOTC98
IF((15(J-4).NE.M5(J)))GOTC98
GOTC99
7 IF((15(J+2).NE.M5(J)))GOTC98
IF((15(J-2).NE.M5(J1)))GOTC98
GOTC99
6 IF((15(J+1).NE.M5(J)))GOTC98
IF((15(J-1).NE.M5(J1)))GOTC98
GOTC99
2 IF(ITE(J).EQ.1)GOTC8
IF(ITE(J).EQ.2)GOTC9
IF((11(J-6).NE.M5(J)))GOTC98
IF((19(J+4).NE.M5(J)))GOTC98
GOTC99
9 IF((13(J-2).NE.M5(J)))GOTC98
IF((17(J+2).NE.M5(J)))GOTC98
GOTC99
8 IF((14(J-1).NE.M5(J)))GOTC98
IF((16(J+1).NE.M5(J)))GOTC98
GOTC99
1 IF(ITE(J).EQ.1)GOTC10
IF(ITE(J).EQ.2)GOTC11
IF((11(J).NE.15(J)))GOTC98
IF((19(J).NE.15(J)))GOTC98
GOTC99
11 IF((13(J).NE.15(J))) GO TO 98
IF((17(J).NE.15(J)))GOTC98
GOTC99
10 IF((14(J).NE.15(J)))GOTC98
IF((16(J).NE.15(J)))GOTC98
98 IP(J)=IPCT1
GOTC99
99 IF(J)=TPLANC
CONTINUE
PRINT140,(TE(J),J=1,128)
FORMAT(2X,12RA15)
RETURN
END

```

```

SUBROUTINE SHIT(M1,M2,M3,M4,M5,M6,M7,M8,M9,TD ,ID3, ID4, ID5, ID6,
*ID7, ID8, ID9)
COMMON/TAA/ID1(128),IT1(128),ID(128)
COMMON/TRA/IT1(128),IT2(128),IT3(128)
COMMON/TCA/IT4(128),IT6(128),IT7(128)
COMMON/TDA/IT8(128),IT9(128)
COMMON/TEA/IT5(128)
DIMENSION M1(1),M2(1),M3(1),M4(1),M5(1),M6(1),M7(1),M8(1),M9(1)
DIMENSION ID2(1),ID3(1),ID4(1),ID5(1),ID6(1),ID7(1),ID8(1),ID9(1)
D050 J=1,128
M1(J)=M2(J)
M2(J)=M3(J)
M3(J)=M4(J)
M4(J)=M5(J)
M5(J)=M6(J)
M6(J)=M7(J)
M7(J)=M8(J)
M8(J)=M9(J)
D060 J=1,128
IT1(J)=IT2(J)
IT2(J)=IT3(J)
IT3(J)=IT4(J)
IT4(J)=IT5(J)
IT5(J)=IT6(J)
IT6(J)=IT7(J)
IT7(J)=IT8(J)
IT8(J)=IT9(J)
D070 J=1,128
ID1(J)=ID2(J)
ID2(J)=ID3(J)
ID3(J)=ID4(J)
ID4(J)=ID5(J)
ID5(J)=ID6(J)
ID6(J)=ID7(J)
ID7(J)=ID8(J)
ID8(J)=ID9(J)
RETURN
END

```

50

60

70

P R O G R A M M E S
C O N C E R N A N T
L E S
D I F F E R E N T E S
T R A N S F O R M A T I O N S
L O C A L E S

```

C PROGRAMME PRINCIPAL VALABLE
C POUR LES TRANSFORMATIONS LOCALES
C MOYENNE, ECART A LA MOYENNE, CONTRASTE, ET ECART TYPE
C
C DEFINE FILE 4=BD(R:256,G:1,RW,BN,FI)
C DEFINE FILE 5=CD(R:256,G:1,RW,BN,FI)
C DIMENSION LVECT(128),IM(128),IG(64)
C INTEGER V(128),V1(128),V2(128),V3(128)
C L=4978
C K=0
C IZ=0
C DO 10 I=6365,6873,6
C READ(4,I)(LVECT(J),J=1,128)
C DO 11 J=1,128
C V(J)=LVECT(J)
C IF(IZ.GE.1) GO TO 12
C K=K+1
C CALL INITIA(K,V,V1,V2,V3)
C IF(K.LT.3) GO TO 10
C CALL MOYENN(V1,V2,V3,IM,IG,L)
C IZ=IZ+1
C CALL SUITE(V1,V2,V3)
C GO TO 10
C DO 13 J=1,128
C V3(J)=V(J)
C CALL MOYENN(V1,V2,V3,IM,IG,L)
C GO TO 9
C CONTINUE
C STOP
C END

C
C SUBROUTINE INITIA(K,V,V1,V2,V3)
C INTEGER V(1),V1(1),V2(1),V3(1)
C IF(K.EQ.1) GO TO 1
C IF(K.EQ.2) GO TO 2
C IF(K.EQ.3) GO TO 3
C DO 11 J=1,128
C V1(J)=V(J)
C GO TO 8
C DO 22 J=1,128
C V2(J)=V(J)
C GO TO 8
C DO 33 J=1,128
C V3(J)=V(J)
C RETURN
C END

C
C SUBROUTINE SUITE(V1,V2,V3)
C INTEGER V1(1),V2(1),V3(1)
C DO 66 J=1,128
C V1(J)=V2(J)
C V2(J)=V3(J)
C RETURN
C END

```

```

C      SUBROUTINE MOYENN(V1,V2,V3,IM,TG,L)
C      S/P CALCULANT LA MOYENNE
      INTEGER V1(1),V2(1),V3(1)
      DIMENSION IM(1),TG(1)
      DO 44 J=2,127
      M=0
      M=M+V1(J-1)+V1(J)+V1(J+1)
      M=M+V2(J-1)+V2(J)+V2(J+1)
      M=M+V3(J-1)+V3(J)+V3(J+1)
44    IM(J)=TG(J/9)
      WRITE(5'L)(IM(J),J=1,128)
      L=L+1
      RETURN
      END

C      SUBROUTINE MOYENN(V1,V2,V3,IM,IG,L)
C      S/P CALCULANT L'ECART-TYPE
      INTEGER V1(1),V2(1),V3(1)
      DIMENSION IM(1),IG(1)
      DO 44 J=2,127
      M1=0
      M1=M1+V1(J-1)**2+V1(J)**2+V1(J+1)**2
      M1=M1+V2(J-1)**2+V2(J)**2+V2(J+1)**2
      M1=M1+V3(J-1)**2+V3(J)**2+V3(J+1)**2
      M1=IFIX(M1/9)
      M2=0
      M2=M2+V1(J-1)+V1(J)+V1(J+1)
      M2=M2+V2(J-1)+V2(J)+V2(J+1)
      M2=M2+V3(J-1)+V3(J)+V3(J+1)
      M2=IFIX(M2/9)**2
44    IM(J)=SGRT(M1-M2)
      WRITE(5'L)(IM(J),J=1,128)
      L=L+1
      RETURN
      END

C      SUBROUTINE MOYENN(V1,V2,V3,IM,IG,L)
C      S/P CALCULANT LE CONTRASTE
      INTEGER V1(1),V2(1),V3(1)
      DIMENSION IM(1),IG(1)
      DO 44 J=2,127
      M=0
      M=M+V1(J-1)+V1(J)+V1(J+1)
      M=M+V2(J-1)+V2(J)+V2(J+1)
      M=M+V3(J-1)+V3(J)+V3(J+1)
      N=IFIX(N/9)
      IM(J)=V2(J)*2-N
      IM(J)=IM(J)+5
44    CONTINUE
      WRITE(5'L)(IM(J),J=1,128)
      L=L+1
      RETURN
      END

SUBROUTINE MOYENN(V1,V2,V3,IM,IG,L)
INTEGER V1(1),V2(1),V3(1)
DIMENSION IM(1),IG(1)
DO 44 J=2,127
M=0
M=M+V1(J-1)+V1(J)+V1(J+1)
M=M+V2(J-1)+V2(J)+V2(J+1)
M=M+V3(J-1)+V3(J)+V3(J+1)
N=IFIX(N/9)
IM(J)=V2(J)-N
IM(J)=IM(J)+20
44  CONTINUE
      WRITE(5'L)(IM(J),J=1,128)
      L=L+1
      RETURN
      END

```

```

DEFINE FILE 4=BD(R:256,G:1,RW,BN,FI)
DEFINE FILE 5=CD(R:256,G:1,RW,BN,FI)
INTEGER V1,V2,V3,V4,V5
DIMENSION V(128),V1(128),V2(128),V3(128)
DIMENSION V4(128),V5(128),LVECT(128)
N=5104
K=0
IZ=0
DO 51 I=6365,6873,4
READ(4,I)(LVECT(J),J=1,128)
J=0
DO 52 LL=1,128
J=J+1
V(LL)=LVECT(J)
IF(IZ.GE.1) GO TO 6
K=K+1
CALL INITIA(K,V1,V2,V3,V4,V)
IF(K.LT.4) GO TO 51
CALL GRADA(V1,V2,V3,V4,V5,N)
9   IZ=IZ+1
CALL ISUIT(V1,V2,V3,V4)
GO TO 51
6   DO 14 J=1,128
14  V4(J)=V(J)
CALL GRADA(V1,V2,V3,V4,V5,N)
GO TO 9
GO TO 9
51  CONTINUE
CALL RESTE(V2,V3,V4,V5,N)
STOP
END

```

```

SUBROUTINE INITIA(K,V1,V2,V3,V4,V)
INTEGER V1(1),V2(1),V3(1),V4(1),V(1)
IF(K.EQ.1) GO TO 10
IF(K.EQ.2) GO TO 12
IF(K.EQ.3) GO TO 14
IF(K.EQ.4) GO TO 16
10  DO 51 J=1,128
51  V1(J)=V(J)
GO TO 8
12  DO 52 J=1,128
52  V2(J)=V(J)
GO TO 8
14  DO 53 J=1,128
53  V3(J)=V(J)
GO TO 8
16  DO 54 J=1,128
54  V4(J)=V(J)
RETURN
8   END

```

```

SUBROUTINE RESTE(V2,V3,V4,V5,N)
INTEGER V2(1),V3(1),V4(1),V5(1)
DO 80 L=1,127
V5(L)=IABS(V2(L)-V3(L+1))+IABS(V3(L)-V2(L+1))
CONTINUE
V5(L)=V5(L-1)
WRITE(5,N)(V5(J),J=1,128)
N=N+1
DO 85 L=1,127
V5(L)=IABS(V3(L)-V4(L+1))+IABS(V4(L)-V3(L+1))
CONTINUE
V5(L)=V5(L-1)
WRITE(5,N)(V5(J),J=1,128)
N=N+1
WRITE(5,N)(V5(J),J=1,128)
RETURN
END

```

```

SUBROUTINE GRADA(V1,V2,V3,V4,V5,N)
INTEGER V1(1),V2(1),V3(1),V4(1),V5(1)
DO 40 L=1,125
  IC=IABS(V2(L+1)-V3(L+2))+IABS(V3(L+1)-V2(L+2))
  ID=IABS(V1(L)-V4(L+3))+IABS(V4(L)-V1(L+3))
  IW=IABS(V1(L+1)-V4(L+2))+IABS(V3(L)-V2(L+3))
  IZ=IABS(V1(L+2)-V4(L+1))+IABS(V2(L)-V3(L+3))
  IM1=SQRT(IC+ID)
  IM2=SQRT(IW+IZ)
  IM3=SQRT(IM1)
  IM4=SQRT(IM2)
  V5(L)=IM3*IM4
40 CONTINUE
DO 70 L=126,127
  V5(L)=IABS(V1(L)-V2(L+1))+IABS(V2(L)-V1(L+1))
70 CONTINUE
  V5(L)=V5(L-1)
  WRITE(5,'(N)(V5(J),J=1,128)
  N=N+1
  RETURN
END

SUBROUTINE ISUIT(V1,V2,V3,V4)
INTEGER V1(1),V2(1),V3(1),V4(1)
DO 41 J=1,128
  V1(J)=V2(J)
  V2(J)=V3(J)
  V3(J)=V4(J)
41 RETURN
END

```

C.

```

SUBROUTINE NOYENN(V1,V2,V3,IM,TG,L)
S/P CALCULANT LE CONTRASTE DU GRADIENT
DIMENSIONS DE LA FENETRE SONT (3*3)
INTEGER V1(1),V2(1),V3(1)
DIMENSION IM(1),TG(1)
DO 44 J=2,127
  M=0
  M=M+V1(J-1)+V1(J)+V1(J+1)
  M=M+V2(J-1)+V2(J)+V2(J+1)
  M=M+V3(J-1)+V3(J)+V3(J+1)
  N=IFIX(M/9)
  IM(J)=V2(J)*2-N
  IM(J)=IM(J)+15
44 CONTINUE
  WRITE(5,'L)(IM(J),J=1,128)
  L=L+1
  RETURN
END

```

```

      DEFINE FILE S=CD(R:256,G:1,RW,BN,FI)
      DIMENSION LV(128),IFREQ(300)
      DO 50 I=1,300
      IFREQ(I)=0
      MIN=256
      MAX=0
      DO 60 I=5232,5359
      READ(S,I)(LV(J),J=1,128)
      DO 70 K=1,128
      IA=LV(K)
      MIN=MIN0(MIN,IA)
      MAX=MAX0(MAX,IA)
      KI=IA+1
      70   IFREQ(KI)=IFREQ(KI)+1
      CONTINUE
      PRINT160,(MIN,MAX)
      160  FORMAT(10X,'MIN EGAL A',T3,3X,'MAX EGAL A',T3)
      CALL HISTO(MIN,MAX,IFREQ)
      STOP
      END

      SUBROUTINE HISTO(MIN,MAX,IFREQ)
      DIMENSION IFREQ(1)
      DIMENSION LIG(120)
      DATA IH,I2,INCINS,II,IRLANC/1HH,1H2,1H-,1HT,1H /
      IMAX=IFREQ(1)
      DO 60 J=1,256
      IF(IMAX.GT(IFREQ(J))) GO TO 60
      IMAX=IFREQ(J)
      CONTINUE
      IF(IMAX.LE.80)GOTO2
      K=IMAX/80
      GO TO 2
      2   K=1
      3   PRINT 154
      PRINT155
      PRINT205
      PRINT206
      PRINT 151,K
      PRINT 155
      PRINT 156
      PRINT 157
      KL=MIN+1
      NL=MAX+1
      DO 62 J=KL,NL
      DO 61 I=1,120
      LIG(I)=IRLANC
      LF=IFREQ(J)/K
      IF(LF.EQ.0)GOTC40
      DO 63 I=1,LF
      LIG(I)=IH
      40   PRINT160,(J,IFREQ(J),(LIG(L),L=1,95))
      62   CONTINUE
      PRINT153
      154  FORMAT(57X,'HISTOGRAMME DES FREQUENCES')
      155  FORMAT(56X,28(1H-),///)
      205  FORMAT(57X,'IMAGE GRADIENT AMELIORE CONTRASTEE')
      206  FORMAT(56X,35(1H-),///)
      151  FORMAT(57X,'UN H REPRESENTE ',T3,' VALEURS')
      152  FORMAT(4X,'NIVEAU',2X,'FREGENCE')
      153  FORMAT(22X,98(1H-))
      160  FORMAT(5X,14,3X,T5,5X,1H1,1X,95A1,1H)
      RETURN
      END

```

PROGRAMME FAISANT UNE CLASSIFICATION DE L'IMAGE

```
DEFINE FILE S=CD(R:256,G:1,RW,BN,FT)
DIMENSION L(2)
DIMENSION LV(128),MA(128),MB(128),MC(128)
DATA IBLANC,IASTER/1H ,1H*/
DO 50 J=1,128
MA(J)=IBLANC
MB(J)=IBLANC
MC(J)=IBLANC
N=0
PRINT200
PRINT201
PRINT202
PRINT203
PRINT210
PRINT211
PRINT203
DO60I=52,2,E759
READ(S,I)(LV(J),J=1,128)
DO 70 J=1,128
IF(LV(J) .EQ .10) GO TO 1
IF(LV(J) .EQ .19) GO TO 1
IF(LV(J) .EQ .25) GO TO 1
IF(LV(J) .EQ .34) GO TO 1
IF(LV(J) .GE .39) GO TO 1
MA(J)=IBLANC
GOTO70
1
MA(J)=IASTER
CONTINUE
N=N+1
PRINT160,(N,(MA(J),J=1,128))
60.
CONTINUE
PRINT204
160 FORMAT(1X,T3,128A1)
200 FORMAT(////////)
201 FORMAT(40X,'IMAGE DU GRADIENT AMELIORE CONTRASTE')
202 FORMAT(39X,46(1H-))
203 FORMAT(////////)
204 FORMAT(40X,'DETECTION DE CONTOURS')
210 FORMAT(39X,23(1H-),///)
211 STOP
END
```

